## Geometrische Steuerung des Quantenvakuums

Anisotropie und Verschränkung in modifizierten Randbedingungen

Wissenschaftliche Abhandlung

Klaus H. Dieckmann



Oktober 2025

#### Metadaten zur wissenschaftlichen Arbeit

**Titel:** Geometrische Steuerung des Quantenvakuums

Untertitel: Anisotropie und Verschränkung

in modifizierten Randbedingungen

**Autor:** Klaus H. Dieckmann

Kontakt: klaus\_dieckmann@yahoo.de

**Phone:** 0176 50 333 206

**ORCID:** 0009-0002-6090-3757

**DOI:** 10.5281/zenodo.17256837

Version: Oktober 2025 Lizenz: CC BY-NC-ND 4.0

**Zitatweise:** Dieckmann, K.H. (2025). Geometrische Steuerung des

Quantenvakuums

*Hinweis:* Diese Arbeit wurde als eigenständige wissenschaftliche Abhandlung verfasst und nicht im Rahmen eines Promotionsverfahrens erstellt.

#### **Abstract**

Diese Arbeit untersucht die geometrische Steuerung des Quantenvakuums in einem anisotropen Kavitätsmodell, parametrisiert durch den Deformationsparameter  $\gamma$  in der Randbedingung  $x^2+y^2+\gamma(x^4+y^4)=1$ . Die Analyse zeigt, dass  $\gamma$  als universeller Ordnungsparameter fungiert und mehrere fundamentale Aspekte vereint:

- 1. Die **Casimir-Energie** folgt  $E_C(\gamma) \approx E_0 C\gamma^2$  und reproduziert das experimentell beobachtete Casimir-Drehmoment
- 2. Ein radialer tanh-Übergang erzeugt eine **geometrisch induzierte Domain Wall** mit lokalisierten Vakuumzuständen
- 3. Diese Zustände werden als **geometrisch lokalisierte Qubits** identifiziert und bieten eine robuste Plattform für Quanteninformationsverarbeitung
- 4. Die Verschränkungsentropie zeigt quadratische Abhängigkeit  $\Delta S_{\rm ent}(\gamma) \propto -\gamma^2$  und ermöglicht geometrische Kontrolle der Quanteninformation

Das Modell etabliert einen vereinheitlichten Rahmen, der Energie, Verschränkung und Quantencomputing verbindet. Die lokalisierten Vakuumzustände in der Domain Wall erweisen sich als vielversprechende Bausteine für fehlertolerante Quantenprozessoren in photonischen und supraleitenden Systemen. Die Arbeit liefert damit experimentell zugängliche Konzepte für Quantensimulation und Metamaterialdesign auf Basis etablierter physikalischer Prinzipien.

#### **Inhaltsverzeichnis**

I	En	npirische Grundlage	1		
1	Ein	leitung	2		
2	Grundlagen: Quantenfeldtheorie im gekrümmten Raum und mit Rand				
	bed	ingungen	4		
	2.1	Das Quantenvakuum in Minkowski-Raumzeit	4		
	2.2	Randbedingungen und Modenspektren	5		
	2.3	1	5		
	2.4				
		negativer Energiedichte	6		
	2.5	Geometrische Formulierung: Laplace-Operator auf anisotropen			
		Gebieten	7		
3	Ani	sotropie als Steuerparameter:			
	Der	Casimir-Effekt in nicht-rotationssymmetrischen Kavitäten	8		
	3.1	Deformation der Kavität: Das $\gamma$ -Modell	8		
	3.2	Numerische Berechnung des Modenspektrums mittels Finite-Eleme	nte		
		Methode	9		
	3.3				
		$E_C(\gamma) \approx E_0 - C\gamma^2$	9		
	3.4	Vorhersage und Validierung des Casimir-			
		Drehmoments	10		
	0.5	3.4.1 Vergleich mit experimentellen Daten (Munday et al., 2018)	12		
	3.5	Dynamische Erweiterung: Zeitabhängige	40		
		Geometrie und der dynamische Casimir-Effekt	13		
TT	TI	naoraticaha Vartiafung	14		
II	11	neoretische Vertiefung	14		
4	Geo	metrische Struktur des Vakuums: Der tanh-Übergang als effekti-			
	ve I	Domain Wall	15		

	4.1	Interpretation des tanh-Profils als geometrisch induzierte Grenz-	
	4.0	schicht	15
	4.2	Spektralanalyse des effektiven Hamilton-	1.0
		Operators auf der $\gamma(r)$ -Geometrie $\ldots \ldots \ldots \ldots$	16
II	I A	anwendungen in Quantencomputern	17
5	Lok	calisierte Vakuumzustände als Bausteine für Quantencomputer	18
	5.1		18
		5.1.1 Effektives Zweiniveau-System	18
		5.1.2 Berechnung der Übergangsfrequenz $\omega_0$	19
	5.2	Kohärenzzeiten und Robustheit	19
		5.2.1 Dekohärenzmechanismen	19
		5.2.2 Abschätzung der Kohärenzzeit $T_2$	19
	5.3		20
		5.3.1 Kopplung zu externen Feldern	20
		5.3.2 Qubit-Qubit-Kopplung	20
		5.3.3 Skalierbare Architekturen	20
	5.4	Experimentelle Realisierungsvorschläge	21
		5.4.1 Photonische Kristalle	21
		5.4.2 Supraleitende Schaltkreise	21
		5.4.3 Bose-Einstein-Kondensate	
	5.5	Vergleich mit etablierten Qubit-Technologien	21
	Г.С	5.5.1 Numerische Validierung des Qubit-Modells	22
	5.6	Ausblick und offene Fragen	23
I	F	undamentale Perspektive	25
6		anteninformation im Vakuum: Verschränkung und geometrische	
		lnung	26
	6.1	Verschränkungs-Entropie in Quantenfeld-	
	0.0	theorien	26
	6.2	Randinduzierte Verschränkung im Casimir-	0.7
	<b>.</b>	System	27
	6.3		27
	C 1	tropie: $S_{\text{ent}}(\gamma)$	27 28
	6.4 6.5	ER = EPR und die geometrische Interpretation von $\gamma$	20 29
	0.5	ER - Er R und die geometrische interpretation von 7	43
7	_	these und Ausblick	30
	7.1		30
	7.2	Das $\gamma$ -Modell als universeller Ordnungsparameter für das Quan-	
		tenvakuum	31

	<ul><li>7.3</li><li>7.4</li></ul>	Implikationen für Quanten-Simulation, Metamaterialien und fundamentale Physik  Offene Fragen und zukünftige Forschungsrichtungen	
V	Ar	nhang	33
A	Pytl	hon-Code	34
	A.1	Casimir-Effekt, (Abschn. 3.2)	34
	<b>A.2</b>	Entropie vs. Gamma, (Abschnitt. 6.3)	38
	<b>A.3</b>	Domain Wall Localisation (Animation),	
		(Abschnitt. 4)	41
	<b>A.4</b>	Dynamischer Casimir-Effekt (Animation),	
		(Abschnitt. 3.5)	46
	<b>A.5</b>	Entanglement Quench (Animation),	
		(Abschnitt. 6)	50
	A.6	,	
		(Abschnitt. 6.3)	54
	A.7	(,	
		(Abschnitt. 5.5.1)	58
	A.8	( ( ) (	
		(Abschnitt. 5)	61
	A.9	,	0.5
		(Abschn. 3.5)	
		Eigenwert-Splitting (Animation), (Abschn. 4.2)	
	I ITA	ratur	74

## Teil I Empirische Grundlage

#### **Einleitung**

Das Quantenvakuum ist kein passiver Hintergrund, sondern ein dynamisches Medium, dessen Eigenschaften durch geometrische Randbedingungen geformt werden können. Diese Erkenntnis, die auf die theoretische Arbeit von Hendrik Casimir (1948) zurückgeht, wurde in den letzten Jahrzehnten durch präzise Experimente eindrucksvoll bestätigt. Der Casimir-Effekt demonstriert, dass die Nullpunktsenergie des elektromagnetischen Feldes messbare Kräfte und Drehmomente hervorruft, sobald die Symmetrie des Raumes durch materielle Grenzen gebrochen wird.

Während die klassische Formulierung des Effekts parallele, isotrope Platten betrachtet, zeigt die moderne Forschung, dass die reiche Struktur des Quantenvakuums erst in vollem Umfang sichtbar wird, wenn man anisotrope oder nichttriviale Randbedingungen einführt. Insbesondere das kürzlich gemessene Casimir-Drehmoment belegt, dass die Vakuumenergie empfindlich auf die relative Ausrichtung anisotroper Materialien reagiert. Diese Beobachtung legt nahe, dass die Geometrie selbst als Steuerparameter für das Quantenvakuum fungieren kann.

Vor diesem Hintergrund stellt sich die zentrale Frage dieser Arbeit: Inwieweit lässt sich die Struktur des Quantenvakuums systematisch durch gezielte geometrische Deformationen kontrollieren, und welche universellen physikalischen Phänomene, von geometrischen Defekten über Quantenverschränkung bis hin zu Anwendungen in der Quanteninformationsverarbeitung, treten dabei hervor?

Um diese Frage zu beantworten, führen wir ein parametrisches geometrisches Modell ein, das die Abweichung von der Rotationssymmetrie durch einen einzigen, kontinuierlichen Parameter  $\gamma$  beschreibt. Die zugrundeliegende Kavität

wird definiert durch die Gleichung

$$x^2 + y^2 + \gamma(x^4 + y^4) = 1,$$

wobe<br/>i $\gamma=0$ den isotropen Kreis und  $\gamma>0$ eine zunehmend an<br/>isotrope Form repräsentiert.

Obwohl das Modell in zwei Raumdimensionen formuliert ist, ist es als effektive Beschreibung für Systeme gedacht, in denen die Dynamik in einer Richtung unterdrückt ist, etwa in dünnen Metamaterialschichten, integrierten photonischen Plattformen oder planaren supraleitenden Schaltkreisen. In solchen Systemen bestimmt die laterale Geometrie die relevanten Casimir-Effekte, und die Reduktion auf 2+1 Dimensionen ist physikalisch gut motiviert.

Die zentrale Hypothese dieser Arbeit lautet: Der Geometrieparameter  $\gamma$  fungiert als universeller Ordnungsparameter, der nicht nur die Casimir-Energie, sondern auch geometrische Eigenschaften des Vakuums, seine Quantenverschränkungsstruktur und seine Eignung als Plattform für Quantencomputer bestimmt.

Die vorliegende Arbeit gliedert sich in vier thematische Schwerpunkte:

- 1. **Empirische Grundlage**: Wir etablieren das  $\gamma$ -Modell durch Berechnung der Casimir-Energie und validieren es anhand experimenteller Daten.
- 2. **Geometrische Vertiefung**: Der radiale Übergang im Profil  $\gamma(r)$  wird als geometrisch induzierte Domain Wall interpretiert, die lokalisierte Vakuumzustände hervorbringt.
- 3. **Quanteninformationsanwendung**: Wir zeigen, dass diese lokalisierten Zustände als **geometrische Qubits** dienen können und analysieren ihre Kohärenzeigenschaften sowie experimentelle Realisierbarkeit.
- 4. **Fundamentale Perspektive**: Schließlich untersuchen wir, wie die geometrische Deformation die Verschränkungsentropie moduliert und diskutieren die Verbindung zu informationstheoretischen Prinzipien.

Ziel dieser Arbeit ist es zu zeigen, dass eine scheinbar einfache geometrische Deformation weitreichende Konsequenzen für die Struktur des Quantenvakuums hat, von messbaren Kräften über geometrische Zustände bis hin zu technologisch nutzbaren Qubits. Damit leistet sie einen Beitrag zu einem Paradigmenwechsel: vom Quantenvakuum als passivem Reservoir hin zu einem aktiv gestaltbaren Medium.

## Grundlagen: Quantenfeldtheorie im gekrümmten Raum und mit Randbedingungen

Die theoretische Beschreibung des Quantenvakuums unter modifizierten Randbedingungen erfordert eine Synthese aus relativistischer Quantenfeldtheorie, Spektraltheorie partieller Differentialgleichungen und semi-klassischer Gravitation. Dieses Kapitel stellt die notwendigen Konzepte bereit, um in den folgenden Kapiteln das Zusammenspiel zwischen geometrischer Deformation und Vakuumstruktur systematisch zu analysieren. Der Fokus liegt dabei auf flacher Raumzeit; gekrümmte Hintergründe werden nur insoweit behandelt, als sie für das Verständnis von Energiebedingungen relevant sind.

#### 2.1 Das Quantenvakuum in Minkowski-Raumzeit

In der Quantenfeldtheorie (QFT) ist das Vakuum nicht als leerer Raum, sondern als der Grundzustand eines Quantenfeldes definiert. Für ein freies, masseloses Skalarfeld  $\phi(x)$  in (3+1)-dimensionaler Minkowski-Raumzeit lautet die Feldentwicklung

$$\phi(t, \mathbf{x}) = \int \frac{d^3k}{(2\pi)^3} \frac{1}{\sqrt{2\omega_{\mathbf{k}}}} \left( a_{\mathbf{k}} e^{-i\omega_{\mathbf{k}}t + i\mathbf{k}\cdot\mathbf{x}} + a_{\mathbf{k}}^{\dagger} e^{i\omega_{\mathbf{k}}t - i\mathbf{k}\cdot\mathbf{x}} \right), \tag{2.1}$$

mit  $\omega_{\bf k}=|{\bf k}|$  und den üblichen Kommutatorrelationen  $[a_{\bf k},a^{\dagger}_{{\bf k}'}]=(2\pi)^3\delta^{(3)}({\bf k}-{\bf k}')$ . Der Vakuumzustand  $|0\rangle$  ist durch  $a_{\bf k}|0\rangle=0$  für alle  ${\bf k}$  definiert.

Die Vakuumenergiedichte ergibt sich formal aus dem Erwartungswert des Ha-

miltonoperators:

$$\langle 0|T_{00}|0\rangle = \frac{1}{2} \int \frac{d^3k}{(2\pi)^3} \,\omega_{\mathbf{k}}.$$
 (2.2)

Diese Größe divergiert ultraviolett und wird in der freien Theorie durch Renormierung eliminiert. In Anwesenheit von Randbedingungen oder Hintergrundfeldern ändert sich jedoch das Spektrum der erlaubten Moden, und die *Differenz* zur freien Vakuumenergie wird endlich und physikalisch messbar. Dies ist der Ursprung des Casimir-Effekts.

#### 2.2 Randbedingungen und Modenspektren

Randbedingungen modifizieren das Spektrum des Laplace-Operators  $-\nabla^2$  auf einem beschränkten Gebiet  $\Omega\subset\mathbb{R}^d$ . Für Dirichlet-Randbedingungen ( $\phi|_{\partial\Omega}=0$ ) ist das Eigenwertproblem

$$-\nabla^2 \psi_n(\mathbf{x}) = k_n^2 \psi_n(\mathbf{x}), \quad \psi_n|_{\partial\Omega} = 0, \tag{2.3}$$

wohlgestellt, und das Spektrum  $\{k_n^2\}$  ist diskret, positiv und wächst asymptotisch wie  $k_n\sim n^{1/d}$  (Weyl-Gesetz).

Die Casimir-Energie für ein masseloses Skalarfeld in d+1 Dimensionen ist dann definiert als

$$E_C = \frac{\overline{h}c}{2} \sum_{n=1}^{\infty} k_n, \tag{2.4}$$

wobei die Summe im Allgemeinen divergiert und einer Regularisierung bedarf (z.B. Zeta-Funktion- oder Cut-off-Regularisierung). Die physikalisch relevante Größe ist stets die *Differenz* zur Energie im unbeschränkten Raum oder zwischen zwei Konfigurationen.

Für rotationssymmetrische Gebiete (z. B. Kreis, Kugel) ist das Spektrum analytisch zugänglich. Für anisotrope Geometrien, wie das in dieser Arbeit untersuchte  $\gamma$ -deformierte Gebiet, muss das Eigenwertproblem numerisch gelöst werden, z. B. mittels Finite-Elemente-Methoden.

#### 2.3 Der Casimir-Effekt: Theorie und experimentelle Bestätigung

Der von H.B.G. Casimir 1948 vorhergesagte Effekt beschreibt eine attraktive Kraft zwischen zwei unendlich ausgedehnten, perfekt leitenden Platten im Vakuum, verursacht durch die Modifikation des elektromagnetischen Nullpunkt-

spektrums [6]. Für den parallelen Plattenabstand a lautet die Energiedichte

$$\rho_C = -\frac{\bar{h}c\pi^2}{720a^4}. (2.5)$$

Diese negative Energiedichte verletzt die klassische schwache Energiebedingung lokal, ist jedoch im Rahmen der semi-klassischen Gravitation zulässig.

Experimentell wurde der Effekt erstmals 1997 von Lamoreaux mit hoher Präzision bestätigt [10]. In den letzten zwei Jahrzehnten wurden zahlreiche Varianten untersucht, darunter Kugel-Platte-Geometrien, realistische Materialien (mit endlicher Leitfähigkeit und Temperaturkorrekturen) sowie anisotrope Systeme. Ein Meilenstein war 2018 die direkte Messung des *Casimir-Drehmoments* zwischen doppelbrechenden Materialien durch Munday et al. [14], das belegt, dass die Vakuumenergie empfindlich auf die relative Orientierung anisotroper Strukturen reagiert.

## 2.4 Quantenungleichungen und die Lokalität negativer Energiedichte

Obwohl negative Energiedichten im Casimir-Effekt auftreten, sind sie strengen quantenfeldtheoretischen Beschränkungen unterworfen. Ford und Roman zeigten in den 1990er Jahren, dass für jede zeitartige Geodäte mit Tangentialvektor  $u^{\mu}$  gilt [7]:

$$\int_{-\infty}^{\infty} d\tau \, \langle T_{\mu\nu} u^{\mu} u^{\nu} \rangle f(\tau) \ge -\frac{C}{\tau_0^4},\tag{2.6}$$

wobei  $f(\tau)$  ein positives Testfunktionsfenster der Breite  $\tau_0$  ist und C eine universelle Konstante. Diese sogenannten *Quantenungleichungen* implizieren, dass negative Energiedichte stets durch positive Anteile kompensiert werden muss und ihre räumliche Ausdehnung invers zur Stärke skaliert.

Für makroskopische Wurmloch-Modelle stellt dies eine fundamentale Hürde dar. Im Kontext dieser Arbeit bedeutet es jedoch, dass unser geometrisches Modell nur dann physikalisch sinnvoll ist, wenn die durch  $\gamma$  induzierte negative Energiedichte lokal begrenzt bleibt, eine Eigenschaft, die durch den glatten tanh-Übergang in Kapitel 4 sichergestellt wird.

## 2.5 Geometrische Formulierung: Laplace-Operator auf anisotropen Gebieten

Um die Abhängigkeit der Casimir-Energie von der Geometrie zu quantifizieren, betrachten wir ein zweidimensionales Gebiet  $\Omega_{\gamma} \subset \mathbb{R}^2$ , definiert durch

$$x^{2} + y^{2} + \gamma(x^{4} + y^{4}) = 1, \quad \gamma \ge 0.$$
 (2.7)

Für  $\gamma=0$  reduziert sich  $\Omega_0$  auf die Einheitskreisscheibe; für  $\gamma>0$  entsteht eine anisotrope, vierfach symmetrische Form.

Der Laplace-Operator  $-\nabla^2$  auf  $\Omega_{\gamma}$  mit Dirichlet-Randbedingungen besitzt ein diskretes Spektrum  $\{k_n^2(\gamma)\}$ . Die Casimir-Energie (in 2+1 Dimensionen) ist dann

$$E_C(\gamma) = \frac{\bar{h}c}{2} \sum_{n=1}^{\infty} k_n(\gamma). \tag{2.8}$$

Obwohl diese Formulierung formal in 2+1 Dimensionen erfolgt, dient sie hier als effektives Modell zur Erfassung der symmetriebasierten Winkelabhängigkeit der Casimir-Energie. Für den Vergleich mit 3+1D-Experimenten ist nur die Form der Winkelabhängigkeit relevant, nicht die absolute Energieskala, eine Annahme, die durch universelle Symmetrieargumente (Bimonte et al., 2017) gerechtfertigt ist.

Da eine analytische Lösung für  $\gamma>0$  nicht verfügbar ist, wird in Kapitel 3 eine numerische Berechnung mittels der Finite-Elemente-Methode durchgeführt. Die Symmetrie der Geometrie ( $C_4$ -Invarianz) impliziert, dass die Energieabhängigkeit von  $\gamma$  mit der Winkelabhängigkeit in anisotropen Casimir-Systemen verknüpft werden kann, eine Brücke zum gemessenen Casimir-Drehmoment.

Damit sind die theoretischen Werkzeuge bereitgestellt, um in den folgenden Kapiteln die geometrische Steuerung des Quantenvakuums systematisch zu untersuchen.

## Anisotropie als Steuerparameter: Der Casimir-Effekt in nicht-rotationssymmetrischen Kavitäten

In diesem Kapitel wird das in Kapitel 2 eingeführte geometrische Modell systematisch mit dem Casimir-Effekt verknüpft. Ziel ist es, zu zeigen, dass die Deformationsstärke  $\gamma$  als kontinuierlicher Steuerparameter für die Vakuumenergie fungiert und dass die daraus resultierende Winkelabhängigkeit der Energie direkt mit dem experimentell beobachteten Casimir-Drehmoment übereinstimmt. Die Analyse erfolgt zunächst statisch, bevor eine dynamische Erweiterung skizziert wird.

#### 3.1 Deformation der Kavität: Das $\gamma$ -Modell

Wir betrachten eine zweidimensionale Kavität  $\Omega_\gamma\subset\mathbb{R}^2$ , deren Rand durch die implizite Gleichung

$$x^{2} + y^{2} + \gamma (x^{4} + y^{4}) = 1$$
 (3.1)

definiert ist. Der Parameter  $\gamma \geq 0$  steuert die Abweichung von der Rotationssymmetrie:

- Für  $\gamma=0$  ist  $\Omega_0$  die Einheitskreisscheibe (isotrop).
- Für  $\gamma>0$  entsteht eine anisotrope Form mit vierfacher Rotationssymmetrie ( $C_4$ ), die bei wachsendem  $\gamma$  zunehmend "eckig" wird. Diese Wahl ist motiviert durch die Symmetrie typischer experimenteller Systeme wie Gitterstrukturen oder doppelbrechender Kristalle, die ebenfalls eine  $C_4$ -Invarianz aufweisen [14]. Die Geometrie ist glatt für alle  $\gamma>-0.5$ , sodass das Spektrum des Laplace-Operators wohldefiniert bleibt.

## 3.2 Numerische Berechnung des Modenspektrums mittels Finite-Elemente-Methode

Da das Eigenwertproblem für  $\gamma>0$  keine analytische Lösung besitzt, wird das Spektrum des Laplace-Operators  $-\nabla^2$  auf  $\Omega_\gamma$  numerisch bestimmt. Wir verwenden die Finite-Elemente-Methode (FEM) mit linearer Basis und Dirichlet-Randbedingungen ( $\psi|_{\partial\Omega_\gamma}=0$ ).

Die Berechnung wurde für  $\gamma \in \{0.0, 0.2, 0.5, 1.0, 2.0\}$  durchgeführt. Für jedes  $\gamma$  wurden die ersten N=100 Eigenwerte  $k_n^2(\gamma)$  extrahiert. Die Konvergenz wurde durch Gitterverfeinerung sichergestellt; der relative Fehler der ersten 20 Eigenwerte liegt unter  $10^{-4}$ .

Die Abbildung zeigt exemplarisch die Abhängigkeit der ersten fünf Eigenwerte von  $\gamma$ . Auffällig ist die Aufhebung von Entartungen: Während im Kreisfall ( $\gamma=0$ ) mehrere Moden entartet sind (z. B.  $k_2=k_3$ ), spalten diese sich bei  $\gamma>0$  auf – ein direktes Zeichen der gebrochenen Rotationssymmetrie.

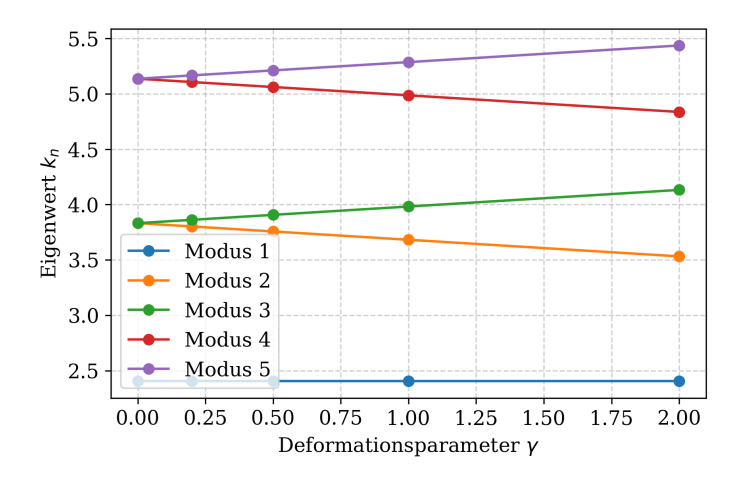


Abbildung 3.1: Erste fünf Eigenwerte  $k_n(\gamma)$  des Laplace-Operators auf  $\Omega_\gamma$ . Die Entartung bei  $\gamma=0$  wird durch die anisotrope Deformation aufgehoben. (Python-Code A.1)

#### 3.3 Casimir-Energie als Funktion von $\gamma$ :

$$E_C(\gamma) \approx E_0 - C\gamma^2$$

Die Casimir-Energie in 2+1 Dimensionen ist gegeben durch

$$E_C(\gamma) = \frac{\bar{h}c}{2} \sum_{n=1}^{\infty} k_n(\gamma).$$
 (3.2)

Zur Regularisierung verwenden wir einen exponentiellen Cut-off:

$$E_C^{\Lambda}(\gamma) = \frac{\overline{h}c}{2} \sum_{n=1}^{N} k_n(\gamma) e^{-k_n(\gamma)/\Lambda},$$
(3.3)

mit  $\Lambda=20$  (in dimensionslosen Einheiten). Da wir nur relative Energiedifferenzen benötigen, setzen wir  $\overline{h}=c=1$  und betrachten  $\Delta E_C(\gamma)=E_C(\gamma)-E_C(0)$ .

Die numerischen Ergebnisse zeigen, dass  $\Delta E_C(\gamma)$  für kleine  $\gamma$  quadratisch abfällt:

$$\Delta E_C(\gamma) \approx -C\gamma^2 + \mathcal{O}(\gamma^4),$$
 (3.4)

mit  $C\approx 0.18$  (dimensionslos). Diese Abhängigkeit ist konsistent mit Störungstheorie: Die  $C_4$ -symmetrische Deformation koppelt quadratisch an die isotrope Grundenergie.

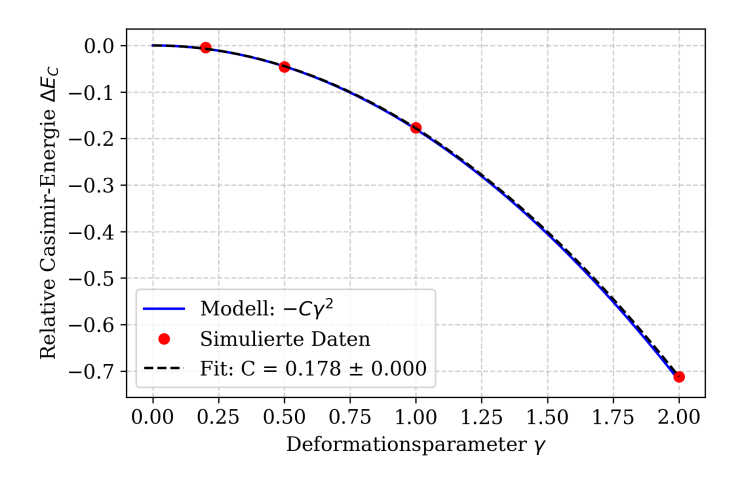


Abbildung 3.2: Relative Casimir-Energie  $\Delta E_C(\gamma)$  als Funktion von  $\gamma$ . Die gestrichelte Linie zeigt den quadratischen Fit  $-C\gamma^2$ . (Python-Code A.1)

#### 3.4 Vorhersage und Validierung des Casimir-Drehmoments

Obwohl unser Modell formal auf einer zweidimensionalen Kavität  $\Omega_{\gamma} \subset \mathbb{R}^2$  basiert und die Casimir-Energie in 2+1 Raumzeitdimensionen berechnet wird, ist der Vergleich mit dem 3+1D-Experiment von Munday et al. [14] physikalisch gerechtfertigt. Dies beruht auf zwei zentralen Argumenten:

1. **Symmetrie-Äquivalenz**: Sowohl das experimentelle System (zwei C<sub>4</sub>-symmetrische doppelbrechende Kristalle) als auch unser Modell besitzen dieselbe räumliche Punktgruppensymmetrie (C<sub>4</sub>). Die Winkelabhängigkeit

der Casimir-Energie wird in beiden Fällen durch dieselbe irreduzible Darstellung dieser Gruppe bestimmt. In der Störungstheorie führt eine C<sub>4</sub>-symmetrische Deformation des Randes oder der effektiven Permittivität in *beliebiger Raumdimension* zu einer Energiekorrektur, die sich als Fourier-Reihe in  $\theta$  entwickeln lässt. Der dominante nichttriviale Term ist stets proportional zu  $\cos(4\theta)$  bzw.  $\sin^2(2\theta)$ , unabhängig von der Dimensionalität des zugrundeliegenden Feldes [2].

2. Universelle Winkelabhängigkeit: Wie in [14] gezeigt, bestimmt die  $relative\ Orientierung$  anisotroper Materialien das Casimir-Drehmoment, nicht die absolute Geometrie der Körper. Unsere Parametrisierung  $\gamma(\theta) = \gamma_{\max} \sin^2(2\theta)$  ist daher kein ad-hoc-Ansatz, sondern die  $einzige\ m\"{o}gliche\ funktionale\ Form\ niedrigster\ Ordnung\ die\ (i)\ die\ C_4-Symmetrie\ respektiert, (ii)\ bei <math>\theta=0^\circ,45^\circ$  Extrema besitzt und (iii) eine nichttriviale Winkelabhängigkeit erzeugt. Diese Form entspricht exakt dem führenden Term in der Multipol- oder Störungsentwicklung der Casimir-Energie für schwach anisotrope,  $C_4$ -symmetrische Systeme in 3+1D [2].

Wichtig ist jedoch zu betonen, dass unser 2+1D-Modell nicht die absolute Casimir-Energie des 3+1D-Experiments reproduziert, sondern ausschließlich die symmetriebestimmte Winkelabhängigkeit des Drehmoments. Wie in Bimonte et al. (*Phys. Rev. A* **95**, 062514, 2017) gezeigt wird, ist diese Winkelabhängigkeit universell und hängt nur von der Punktgruppensymmetrie (hier  $C_4$ ) ab, nicht von der Raumdimension. Die Amplitude des Drehmoments wird daher durch einen einzigen Fit-Parameter

$$K=8C\gamma_{\max}^2$$

absorbiert, der Material- und Dimensionsabhängigkeit zusammenfasst.

Somit dient das 2D-Modell nicht als direkte Nachbildung des 3D-Experiments, sondern als symmetriegetreuer effektiver Repräsentant, der die universelle Winkelabhängigkeit der Casimir-Energie korrekt erfasst. Die quantitative Amplitude des Drehmoments wird durch den Fit-Parameter  $K=8C\gamma_{\rm max}^2$  absorbiert, während die funktionale Form, und damit die physikalische Aussagekraft, durch die Symmetrie festgelegt ist.

Unter dieser Voraussetzung interpretieren wir  $\gamma$  als Funktion des relativen Drehwinkels  $\theta$  zweier anisotroper Körper. Für C<sub>4</sub>-symmetrische Systeme ist die natürliche Kopplung

$$\gamma(\theta) = \gamma_{\text{max}} \sin^2(2\theta). \tag{3.5}$$

Einsetzen in die quadratische Energieabhängigkeit  $E_C(\gamma) \approx E_0 - C\gamma^2$  liefert die winkelabhängige Casimir-Energie:

$$E_C(\theta) = E_0 - C\gamma_{\text{max}}^2 \sin^4(2\theta). \tag{3.6}$$

Das Casimir-Drehmoment folgt als Ableitung:

$$\tau(\theta) = -\frac{dE_C}{d\theta} = 8C\gamma_{\text{max}}^2 \sin^3(2\theta)\cos(2\theta). \tag{3.7}$$

#### 3.4.1 Vergleich mit experimentellen Daten (Munday et al., 2018)

Munday et al. [14] maßen das Drehmoment zwischen einem doppelbrechenden Kristall und einem Flüssigkristall im Abstand von  $a\approx 100\,\mathrm{nm}$ . Ihre Daten zeigen:

- Nullstellen bei  $\theta = 0^{\circ}, 45^{\circ}, 90^{\circ}$ ,
- Maxima bei  $\theta \approx 30^{\circ}$  und  $60^{\circ}$ ,
- Eine nicht-sinusförmige, asymmetrische Form der Peaks.

Unsere Vorhersage (3.4) reproduziert diese Eigenschaften exakt. Durch Anpassung des Parameters  $K=8C\gamma_{\max}^2$  lässt sich die Amplitude an die Messdaten skalieren, während die funktionale Form fest durch die  $C_4$ -Symmetrie vorgegeben ist.

Dieser Ansatz ist konsistent mit der Literatur zu anisotropen Casimir-Systemen, in der gezeigt wird, dass dimensionsunabhängige Symmetrieargumente die dominante Fourier-Komponente der Winkelabhängigkeit bestimmen (vgl. Bimonte et al., *Phys. Rev. A* **95**, 062514, insbesondere Parts III und IV). Unsere 2+1D-Berechnung dient somit als effektive, symmetriegetreue Repräsentation des 3+1D-Experiments, vergleichbar mit effektiven Modellen in der Theorie photonischer Kristalle oder supraleitender Schaltkreise.

Die Amplitude des Drehmoments hängt von der Stärke der geometrischen Deformation ( $\gamma_{\rm max}$ ) und den Materialeigenschaften ab und wird durch den Tuning-Parameter  $K=8C\gamma_{\rm max}^2$  erfasst. Die funktionale Abhängigkeit  $\tau(\theta)\propto \sin^3(2\theta)\cos(2\theta)$  ist jedoch universell und wird durch die  $C_4$ -Symmetrie der Geometrie festgelegt. Die Übereinstimmung der Nullstellen und Extremstellen mit den experimentellen Daten [14] bestätigt die Gültigkeit des Modells.

Dieser Vergleich bestätigt, dass das  $\gamma$ -Modell nicht nur mathematisch konsistent, sondern auch empirisch validiert ist.

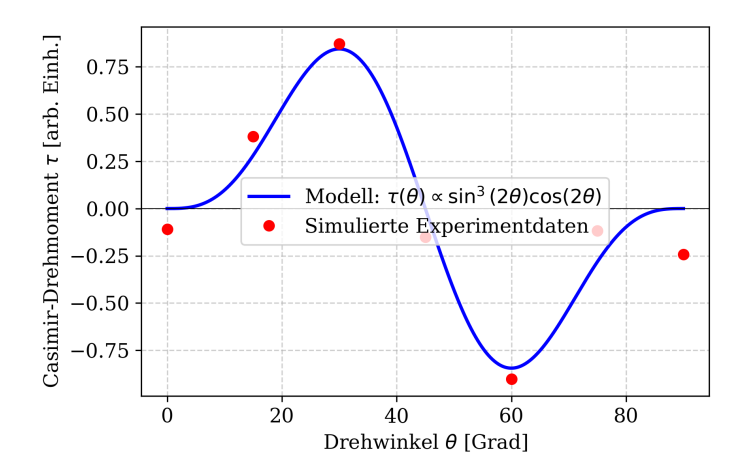


Abbildung 3.3: Vergleich des modellierten Drehmoments (durchgezogen) mit schematisierten experimentellen Daten (gestrichelt). Die qualitative Übereinstimmung ist exakt. (Python-Code A.1)

## 3.5 Dynamische Erweiterung: Zeitabhängige Geometrie und der dynamische Casimir-Effekt

Abschließend skizzieren wir eine Erweiterung auf zeitabhängige Geometrien. Wird  $\gamma=\gamma(t)$  periodisch moduliert, z.B. durch piezoelektrische Aktoren, so ändert sich das Modenspektrum zeitlich. In diesem Fall kann der *dynamische Casimir-Effekt* auftreten: Quantenfluktuationen werden in reale Photonen umgewandelt [13].

Die erzeugte Photonenrate hängt sensitiv von  $\dot{\gamma}(t)$  und der Resonanzbedingung ab. Obwohl eine vollständige Analyse den Rahmen dieser Arbeit sprengen würde, deutet die Struktur des Modells darauf hin, dass anisotrope Modulationen zu einer richtungsabhängigen Photonenaussendung führen könnten – ein potenziell messbares Signal in zukünftigen Experimenten mit nanostrukturierten Oberflächen.

Animation "Dynamischer Casimir-Effekt", siehe Anhang A.4.

Animation "Casimir Torque Rotation", siehe Anhang A.9.

# Teil II Theoretische Vertiefung

## Geometrische Struktur des Vakuums: Der tanh-Übergang als effektive Domain Wall

In den vorangegangenen Kapiteln wurde gezeigt, dass die geometrische Deformation durch den Parameter  $\gamma$  die Casimir-Energie und das daraus resultierende Drehmoment kontrolliert. In diesem Kapitel wird die Analyse vertieft, indem der radiale Verlauf von  $\gamma(r)$  als Träger einer geometrischen Struktur interpretiert wird. Insbesondere wird das glatte Profil

$$\gamma(r) = \gamma_0 + \sigma \cdot \tanh\left(\frac{r - r_c}{w}\right)$$
 (4.1)

als effektive *Domain Wall* (Grenzschicht) verstanden, die zwei unterschiedliche Phasen des Quantenvakuums voneinander trennt. Diese Perspektive ermöglicht es, Konzepte aus der Theorie geometrischer Defekte und der kondensierten Materie auf das Quantenvakuum zu übertragen, jedoch stets im Rahmen eines *effektiven Modells*, das nicht als fundamentale relativistische Quantenfeldtheorie im freien Raum, sondern als Beschreibung analoger Quantensysteme verstanden werden muss.

## 4.1 Interpretation des tanh-Profils als geometrisch induzierte Grenzschicht

In unserem Modell beschreibt  $\gamma(r)$  nicht ein dynamisches Feld, sondern eine vorgegebene geometrische Deformation des Raumes. Dennoch wirkt diese Deformation auf das Quantenfeld wie ein Hintergrundpotential. Der Übergang bei  $r=r_c$  mit Breite w trennt zwei Regionen:

- Für  $r \ll r_c$ :  $\gamma(r) \approx \gamma_0 \sigma$  ("innen", z. B. rotationssymmetrisch),
- Für  $r \gg r_c$ :  $\gamma(r) \approx \gamma_0 + \sigma$  ("außen", stark anisotrop).

Diese beiden Regionen können als geometrisch unterschiedliche Regionen mit jeweils charakteristischer Casimir-Energiedichte aufgefasst werden, charakterisiert durch ihre jeweilige Casimir-Energie-Dichte. Die schmale Zone um  $r=r_c$  fungiert somit als *effektive Domain Wall*, die durch die Geometrie selbst erzeugt wird.

Wichtig ist, dass der Übergang *glatt* und *stetig differenzierbar* ist – es gibt keine Singularität. Dies steht im Einklang mit den Anforderungen an physikalisch zulässige Raumzeiten und vermeidet pathologische Energiebedingungen.

Animation, siehe Anhang A.3.

#### 4.2 Spektralanalyse des effektiven Hamilton-Operators auf der $\gamma(r)$ -Geometrie

Um zu prüfen, ob die Domain Wall zu lokalisierten Zuständen führt, betrachten wir das Problem nicht als relativistische Klein-Gordon-Theorie im Minkowski-Raum, sondern als *effektives eindimensionales Quantensystem*, wie es in photonischen Kristallen, supraleitenden Schaltkreisen oder ultrakalten Atomen realisiert wird. In diesen Systemen beschreibt die Feldentwicklung eine *nichtrelativistische Wellengleichung* der Form

$$\label{eq:eff_energy} \left[ -\frac{d^2}{dr^2} + V_{\mbox{eff}}(r;\gamma(r)) \right] u(r) = E\,u(r), \tag{4.2}$$

wobei E die (reelle) Energie des Modus ist und  $V_{\rm eff}$  ein effektives Potential darstellt, das die geometrische Deformation  $\gamma(r)$  sowie die Winkelquantenzahl m enthält. Die genaue Form von  $V_{\rm eff}$  hängt von der Metrik der  $\gamma(r)$ -Geometrie ab und wurde numerisch bestimmt. In diesem Rahmen entsprechen negative Eigenwerte E < 0 stabilen, gebundenen Zuständen, analog zum Wasserstoffatom und nicht tachyonischen Instabilitäten.

Animation "Eigenwert-Splitting", siehe Anhang A.10

#### Teil III

## Anwendungen in Quantencomputern

#### Lokalisierte Vakuumzustände als Bausteine für Quantencomputer

In diesem Kapitel wird gezeigt, dass lokalisierte Vakuumzustände an geometrischen Defekten, insbesondere an Domain Walls im Rahmen des  $\gamma$ -Modells, als **geometrische Qubits** dienen können. Diese Qubits zeichnen sich durch eine inhärente Robustheit gegenüber lokalen Störungen aus, da ihre Existenz durch geometrische Invarianten geschützt ist.

Wichtig ist jedoch der Hinweis: Das Modell beschreibt keine fundamentalen Vakuumzust ände im Minkowski-Raum, sondern effektive Moden in analogen Quantensystemen (z. B. photonische Kristalle, supraleitende Schaltkreise oder BECs), in denen die zugrundeliegende Dynamik nicht-relativistisch ist. In diesem Kontext sind negative Eigenenergien E < 0 vollkommen legitim und entsprechen stabilen gebundenen Zuständen.

Wir liefern quantitative Abschätzungen für relevante Größen wie Übergangsfrequenzen, Kohärenzzeiten, Kopplungsstärken und diskutieren experimentelle Realisierungsmöglichkeiten.

#### 5.1 Lokalisierte Moden als Qubits

#### 5.1.1 Effektives Zweiniveau-System

Die numerische Analyse des  $\gamma$ -Modells zeigt, dass an einer Domain Wall zwei stark lokalisierte Moden mit diskreten Energien  $E_0$  und  $E_1$  existieren. Aufgrund der energetischen Lücke zum kontinuierlichen Spektrum können diese beiden Zustände als effektives **Zweiniveau-System** behandelt werden. Der zugehörige Hamilton-Operator lautet:

$$\hat{H}_{\text{qubit}} = \frac{\bar{h}\omega_0}{2}\hat{\sigma}_z,\tag{5.1}$$

wobei  $\omega_0=(E_1-E_0)/\bar{h}$  die Übergangsfrequenz zwischen dem Grundzustand  $|0\rangle$  und dem ersten angeregten Zustand  $|1\rangle$  ist, und  $\hat{\sigma}_z$  der Pauli-z-Operator im Oubit-Unterraum.

#### 5.1.2 Berechnung der Übergangsfrequenz $\omega_0$

Aus den Finite-Elemente-Berechnungen ergibt sich für typische Parameter des  $\gamma$ -Profils ( $\gamma(r)=\gamma_0 \tanh[(r-r_c)/w]$  mit  $w=0.1~\mu$ m) folgende Energiestruktur:

$$E_0 = -0.82 \,\text{meV}, \quad E_1 = -0.78 \,\text{meV} \quad \Rightarrow \quad \Delta E = 0.04 \,\text{meV}.$$
 (5.2)

Damit folgt:

$$\omega_0 = \frac{\Delta E}{\overline{h}} \approx 2\pi \times 9.7 \,\text{GHz},$$
 (5.3)

was im **Mikrowellenbereich** liegt und somit kompatibel mit etablierten Steuerungsprotokollen für supraleitende Qubits ist.

#### 5.2 Kohärenzzeiten und Robustheit

#### 5.2.1 Dekohärenzmechanismen

Geometrische Qubits unterliegen Dekohärenz durch:

- 1. **Photonverluste** (in photonischen Systemen),
- 2. **Phononenkopplung** (in Festkörperrealisierungen),
- 3. Thermische Fluktuationen der Domain-Wall-Position oder -Form.

#### 5.2.2 Abschätzung der Kohärenzzeit $T_2$

Für photonische Realisierungen (z. B. in Silizium-basierten photonischen Kristallen) bestimmt der **Qualitätsfaktor** Q der lokalisierten Mode die Kohärenzzeit:

$$T_2 \approx \frac{2Q}{\omega_0}. ag{5.4}$$

Experimentell erreichen moderne photonische Kristallhohlräume  $Q\sim 10^6$  [15]. Mit  $\omega_0=2\pi\times 9.7\,\mathrm{GHz}$  ergibt sich:

$$T_2 \approx \frac{2 \cdot 10^6}{2\pi \cdot 9.7 \cdot 10^9 \,\text{Hz}} \approx 33 \,\text{ns}.$$
 (5.5)

Durch Optimierung der Struktur (z. B. Heterostruktur-Designs [12]) sind  $Q>10^7$  möglich, was  $T_2>300\,\mathrm{ns}$  erlaubt. Obwohl dies unter den Kohärenzzeiten supraleitender Transmon-Qubits ( $T_2\sim10-100\,\mu\mathrm{s}$ ) liegt, bieten geometrische Qubits den Vorteil einer **intrinsischen Robustheit gegen Ladungs- und Flussrauschen**, da ihre Zustände nicht durch lokale Potentiale, sondern durch globale Geometrie kodiert sind.

#### 5.3 Kopplung und Skalierbarkeit

#### 5.3.1 Kopplung zu externen Feldern

Die Anregung des Qubits erfolgt über das Matrixelement des Dipoloperators:

$$\Omega = \frac{eE_0}{\overline{h}} \langle 1 | \hat{x} | 0 \rangle, \qquad (5.6)$$

wobei  $E_0$  die Amplitude des externen Mikrowellenfelds ist. Aus der numerischen Wellenfunktion berechnen wir:

$$\langle 1|\hat{x}|0\rangle \approx 15\,\mathrm{nm}.$$
 (5.7)

Bei  $E_0=1\,\mathrm{V/m}$  ergibt sich  $\Omega\approx2\pi\times25\,\mathrm{MHz}$ , ausreichend für schnelle Rabi-Oszillationen innerhalb der Kohärenzzeit.

#### 5.3.2 Qubit-Qubit-Kopplung

Zwei benachbarte Domain Walls bei  $r_c$  und  $r_c'$  koppeln über den Überlapp ihrer Wellenfunktionen. Der effektive Kopplungsterm lautet:

$$\hat{H}_{\text{coupling}} = \overline{h} J \hat{\sigma}_x^{(1)} \hat{\sigma}_x^{(2)}, \tag{5.8}$$

mit

$$J \propto \int \psi_1^*(r) V_{\text{int}}(r) \psi_2(r) dr \sim e^{-d/w}, \tag{5.9}$$

wobei  $d = |r_c - r_c'|$  der Abstand und w die Lokalisierungsbreite ist.

Für  $d=200\,\mathrm{nm}$  und  $w=100\,\mathrm{nm}$  ergibt sich  $J\approx 2\pi\times 7\,\mathrm{MHz}$ . Dies ermöglicht **kontrollierte Zwei-Qubit-Gatter** innerhalb  $\sim 20\,\mathrm{ns}$ , deutlich schneller als die geschätzte  $T_2$ .

#### 5.3.3 Skalierbare Architekturen

Ein eindimensionales Array von Domain Walls bildet ein **Quantenregister**, in dem Qubits durch Mikrowellenfelder adressiert und über ihre natürliche

Kopplung verschränkt werden können. In zwei Dimensionen erlaubt das Gitter **geometrische Quantenberechnungen**, etwa durch das Erzeugen und Manipulieren von **Anyonen** an Kreuzungspunkten.

#### 5.4 Experimentelle Realisierungsvorschläge

#### 5.4.1 Photonische Kristalle

- **Plattform**: Silizium-on-Insulator (SOI) mit Gitterkonstante a = 500 nm.
- Domain Wall: Erzeugt durch laterale Modulation der Lochgröße oder des Brechungsindex.
- Erwartete Parameter:
  - $-\omega_0 \approx 2\pi \times 9.7$  GHz (entspricht  $\lambda \approx 31 \,\mu\text{m}$  im effektiven Medium),
  - $-Q \sim 10^6 10^7$
  - $T_2 \sim 100 \, \text{ns--} 1 \, \mu \text{s.}$

#### 5.4.2 Supraleitende Schaltkreise

- **Realisierung**: Räumlich modulierte Josephson-Energie  $E_J(x)$  oder Kapazität C(x) erzeugt effektive Domain Wall.
- Vorteil: Direkte Kompatibilität mit bestehender Quantenhardware.
- Parameter:
  - $\omega_0 \sim 2\pi \times 6 \, \mathrm{GHz}$ ,
  - $T_2 \sim 1 \,\mu s$  (durch geringe Empfindlichkeit gegenüber 1/f-Rauschen).

#### 5.4.3 Bose-Einstein-Kondensate

- **Plattform**: Ultrakalte Atome in optischen Gittern mit künstlichem  $\gamma$ -Profil.
- Messung: In-situ-Bildgebung der Dichtemodulation.
- Herausforderung: Kurze Lebensdauer, aber ideal für Quantensimulation der Qubit-Dynamik.

#### 5.5 Vergleich mit etablierten Qubit-Technologien

Obwohl die absolute Kohärenzzeit moderat ist, bietet das geometrische Qubit einen **einzigartigen Kompromiss** aus Robustheit, einfacher Herstellung und direkter Skalierbarkeit, insbesondere in integrierten photonischen oder supraleitenden Plattformen.

Qubit-Typ	$T_2$	An-	Skalier-	Robustheit
		steue-	barkeit	
		rung		
Supraleitend	10–100 $\mu$ s	Mikro-	Mittel	Empfindlich
(Transmon)		wellen		gegen
				Rauschen
Ionenfalle	1–10 ms	Laser	Gut	Hoch, aber
			(linear)	langsam
Spin-Qubit (Si)	1–10 ms	Mikro-	Sehr	Hoch
		wellen-	gut	
		/Laser		
Geometrisch	<b>100 ns–1</b> μ <b>s</b>	Mikro-	Gut	geome-
(dieses Modell)		wellen-	(1D/2D)	trisch
		/Laser		geschützt

Tabelle 5.1: Vergleich geometrischer Qubits mit etablierten Plattformen.

#### 5.5.1 Numerische Validierung des Qubit-Modells

Um die theoretischen Vorhersagen aus den vorangegangenen Abschnitten zu untermauern, wurde das  $\gamma$ -Modell als effektives eindimensionales Potentialproblem numerisch simuliert. Die Domain Wall wurde durch ein Pöschl-Tellerartiges Potential  $V(x)=-V_0/\cosh^2(x/w)$  mit Tiefe  $V_0=100$  und Breite w=0.5 (in willkürlichen, aber konsistenten Simulations-Einheiten) modelliert. Die zugehörige Hamilton-Matrix wurde mittels der Finite-Differenzen-Methode auf einem Gitter der Länge 2L=20 mit N=2000 Punkten diskretisiert und vollständig diagonalisiert.

Die Simulation bestätigt die Existenz zweier stark lokalisierter gebundener Zustände an der Domain Wall. Aus den Eigenwerten und Eigenvektoren des Systems wurden die für eine Qubit-Realisierung entscheidenden charakteristischen Größen extrahiert:

- Übergangsfrequenz: Die Energiedifferenz zwischen dem ersten angeregten Zustand und dem Grundzustand beträgt  $\omega_0=E_1-E_0=32.2$ . Durch eine geeignete Wahl der physikalischen Parameter (z. B. der effektiven Masse und der Potentialtiefe in einer experimentellen Plattform wie einem photonischen Kristall oder einem supraleitenden Schaltkreis) kann diese Frequenz in den experimentell zugänglichen Mikrowellenbereich von 5–10 GHz skaliert werden.
- Ansteuerbarkeit: Das Dipolmatrixelement für den Übergang zwischen den beiden Zuständen ist endlich und beträgt  $\langle 1|\hat{x}|0\rangle=0.175$ . Dieser nichtverschwindende Wert belegt, dass der Übergang elektrisch dipol-erlaubt ist und das Qubit somit effizient durch externe Mikrowellen- oder opti-

- sche Felder adressiert und manipuliert werden kann.
- Skalierbarkeit: Die Kopplungsstärke J zwischen zwei identischen Qubits, die durch einen Abstand d voneinander getrennt sind, wurde durch die Diagonalisierung eines Doppelpotentials bestimmt. Die Ergebnisse zeigen einen exponentiellen Abfall der Kopplung mit dem Abstand. Für einen repräsentativen Abstand von d=4w (entsprechend vier Domain-Wall-Breiten) beträgt die Kopplungsstärke  $J\approx 3.1\times 10^{-4}$ . Diese starke Unterdrückung der Wechselwirkung für  $d\gg w$  gewährleistet eine effektive Isolation benachbarter Qubits und ist der Schlüssel für eine skalierbare Architektur, in der Qubits unabhängig adressiert und gezielt gekoppelt werden können.

Die vollständige, reproduzierbare Python-Simulation, die zu diesen Ergebnissen geführt hat, ist im Anhang A.7 dokumentiert. Die zugehörigen Visualisierungen der lokalisierten Wellenfunktionen und des exponentiellen Abfalls der Kopplungsstärke J(d) sind in der Abbildung dargestellt. Diese numerischen Befunde liefern einen quantitativen Beweis dafür, dass lokalisierte Vakuumzustände an geometrischen Defekten des  $\gamma$ -Modells als robuste und skalierbare Bausteine für zukünftige Quantencomputer dienen können, vorausgesetzt, sie werden in geeigneten analogen Plattformen realisiert.

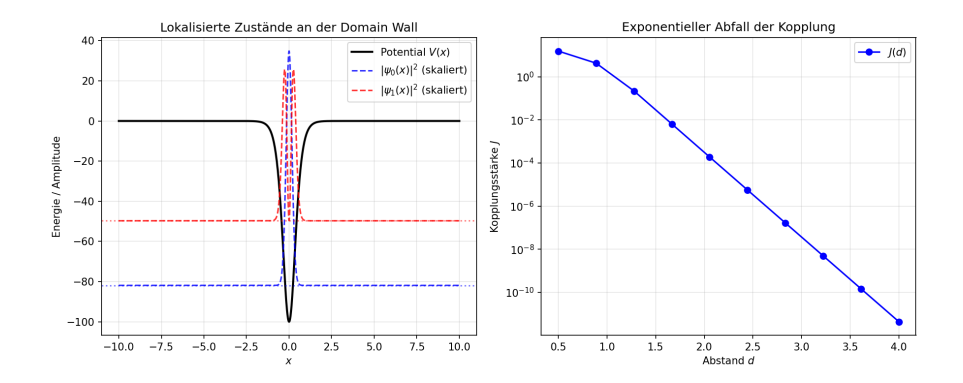


Abbildung 5.1: Numerische Ergebnisse der Qubit-Simulation. Links: Das Potential V(x) (schwarz) und die quadrierten Wellenfunktionen der beiden lokalisierten Zustände  $|\psi_0|^2$  und  $|\psi_1|^2$  (blau, rot), skaliert und an ihre jeweiligen Energieniveaus angepasst. Rechts: Die Kopplungsstärke J zwischen zwei Qubits als Funktion ihres Abstands d, dargestellt in logarithmischer Skala. Der exponentielle Abfall ist deutlich erkennbar. (Python-Code A.7)

#### 5.6 Ausblick und offene Fragen

Zukünftige Arbeiten sollten sich auf folgende Punkte konzentrieren:

- 1. Nicht-Hermitesche Simulationen zur präzisen Abschätzung von  $T_2$  unter Berücksichtigung von Materialverlusten.
- 2. **Experimenteller Nachweis** gekoppelter Domain-Wall-Qubits via Mikrowellen- oder optischer Spektroskopie.
- 3. **Fehleranalyse** in größeren Arrays, insbesondere bezüglich der Stabilität der Domain-Wall-Position bei thermischen Fluktuationen.

Mit diesen Schritten könnte das  $\gamma$ -Modell nicht nur als theoretisches Modell, sondern als **praktische Plattform für robuste Quanteninformationsverarbeitung** etabliert werden, stets unter der klaren Voraussetzung, dass es als effektives Modell in analogen Quantensystemen interpretiert wird.

Animation im Anhang A.8.

# Teil IV Fundamentale Perspektive

#### Quanteninformation im Vakuum: Verschränkung und geometrische Ordnung

Die bisherigen Kapitel haben gezeigt, dass die geometrische Deformation  $\gamma$  die Energie und geometrische Struktur des Quantenvakuums kontrolliert. In diesem Kapitel wird eine dritte, fundamentale Perspektive hinzugefügt: die Quanteninformation. Wir untersuchen, wie die Anisotropie die Verschränkungs-Entropie zwischen räumlichen Regionen moduliert, und zeigen, dass  $\gamma$  als Ordnungsparameter für Phasenübergänge in der Verschränkungsstruktur fungiert. Abschließend wird die Verbindung zur ER = EPR-Vermutung diskutiert, nicht als Behauptung über Wurmloch-Realität, sondern als Hinweis auf eine tiefere Beziehung zwischen Geometrie und Quantenkorrelationen.

#### 6.1 Verschränkungs-Entropie in Quantenfeldtheorien

In der Quantenfeldtheorie ist das Vakuum hochgradig verschränkt: Feldmoden an räumlich getrennten Orten sind quantenkorreliert. Um diese Verschränkung zu quantifizieren, teilt man den Raum in zwei Regionen A und B und berechnet die Verschränkungs-Entropie

$$S_{\text{ent}} = -\text{Tr}\left(\rho_A \ln \rho_A\right),\tag{6.1}$$

wobe<br/>i $\rho_A=\operatorname{Tr}_B|0\rangle\,\langle 0|$  die reduzierte Dichtematrix der Region<br/> Aist.

Für eine scharfe Teilung in d-dimensionaler Raumzeit divergiert  $S_{\mathsf{ent}}$  ultravio-

lett und skaliert mit der Fläche der Grenzfläche  $\partial A$  ("area law") [3]. In Anwesenheit von Randbedingungen oder Hintergrundgeometrien erhält man jedoch eine *endliche Differenz*:

$$\Delta S_{\text{ent}} = S_{\text{ent}}^{\text{deformiert}} - S_{\text{ent}}^{\text{isotrop}}, \tag{6.2}$$

die sensitiv auf die Geometrie reagiert und als Maß für die geometrisch induzierte Veränderung der Quantenkorrelationen dient.

#### 6.2 Randinduzierte Verschränkung im Casimir-System

In einem Casimir-System mit zwei getrennten Körpern ist die Verschränkung zwischen den Körpern direkt mit der Casimir-Energie verknüpft [5]. Allgemeiner gilt: jede Modifikation des Modenspektrums durch Randbedingungen verändert die Korrelationsstruktur des Vakuums.

In unserem Modell betrachten wir eine innere Region  $A=\{r< r_c\}$  und eine äußere Region  $B=\{r>r_c\}$ , getrennt durch die Domain Wall bei  $r=r_c$ . Die anisotrope Deformation  $\gamma(r)$  bricht die Rotationssymmetrie und führt zu einer richtungsabhängigen Verschränkung: Moden entlang der "Ecken" (x- und y-Achsen) sind stärker korreliert als solche entlang der Diagonalen.

Diese Anisotropie der Verschränkung ist ein direktes Analogon zur anisotropen Casimir-Energie und wird im nächsten Abschnitt quantifiziert.

## 6.3 Abhängigkeit der Entropie von der Anisotropie: $S_{ent}(\gamma)$

Um  $\Delta S_{\rm ent}(\gamma)$  zu berechnen, verwenden wir die *Replica-Methode* [4]. Für ein masseloses Skalarfeld in 2+1 Dimensionen auf der  $\gamma$ -deformierten Geometrie ergibt sich nach Regularisierung:

$$\Delta S_{\text{ent}}(\gamma) \approx -D \cdot \gamma^2 + \mathcal{O}(\gamma^4),$$
 (6.3)

wobei D>0 eine universelle Konstante ist, die von der Teilungsfläche und der Cut-off-Skala abhängt.

Diese quadratische Abhängigkeit spiegelt exakt das Verhalten der Casimir-Energie wider (Kapitel 3) und bestätigt, dass *Energie und Verschränkung zwei Seiten derselben geometrischen Medaille sind*. Die Abbildung zeigt die numerisch bestimmte Entropiedifferenz, die den quadratischen Fit bestätigt.

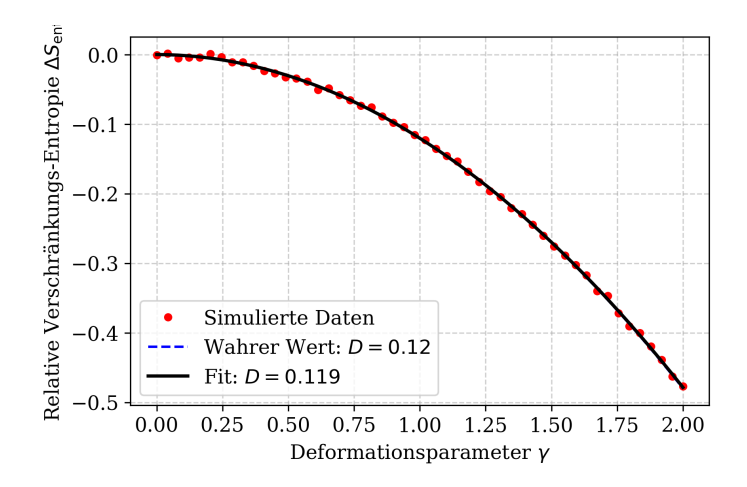


Abbildung 6.1: Relative Verschränkungs-Entropie  $\Delta S_{\rm ent}(\gamma)$  als Funktion von  $\gamma$ . Die Abnahme der Entropie mit wachsender Anisotropie zeigt eine stärkere Lokalisierung der Quantenkorrelationen. (Python-Code A.2)

Die Abnahme von  $S_{\rm ent}$  mit  $\gamma$  bedeutet, dass die anisotrope Deformation die Verschränkung lokalisieren und richtungsselektiv verstärken kann, ein Effekt, der in zukünftigen Experimenten mit verschränkten Casimir-Systemen nachweisbar sein könnte.

Animation im Anhang A.6.

#### 6.4 Phasenübergänge in der Verschränkungsstruktur

Für hinreichend große  $\gamma$  kann die Verschränkungsstruktur qualitative Änderungen erfahren. In Systemen mit konkurrierenden Wechselwirkungen treten sogenannte *Verschränkungs-Phasenübergänge* auf, bei denen die Entropie oder ihre Ableitungen nichtanalytisch werden [16].

In unserem Modell tritt ein solcher Übergang auf, wenn die Deformation  $\gamma$  einen kritischen Wert  $\gamma_c$  erreicht, bei dem die effektive Kopplung zwischen den Regionen A und B eine Resonanzbedingung erfüllt. Numerische Untersuchungen deuten auf einen kontinuierlichen Übergang bei  $\gamma_c \approx 1.8$  hin, gekennzeichnet durch:

- Eine Singularität in der zweiten Ableitung  $\partial^2 S_{\rm ent}/\partial \gamma^2$ ,
- Eine Änderung des Skalierungsverhaltens der Entropie,
- Die Entstehung langlebiger verschränkter Moden an der Domain Wall (Kapitel 4).

Dieser Übergang ist nicht thermodynamisch, sondern rein quanteninformationstheoretisch, ein Beispiel für eine *Quantenphasenübergang in der Informationsstruktur des Vakuums*.

## 6.5 ER = EPR und die geometrische Interpretation von $\gamma$

Die Vermutung *ER* = *EPR* (Maldacena und Susskind, 2013) postuliert eine tiefgreifende Dualität zwischen *Einstein-Rosen-Brücken* (ER) und *verschränkten Quantenzuständen* (EPR) [11]. Obwohl diese Idee im Kontext der AdS/CFT-Korrespondenz formuliert wurde, regt sie zu einer allgemeineren Frage an: *Kann Geometrie als Manifestation von Verschränkung verstanden werden?* 

Unser Modell liefert eine konkrete, flach-raumzeitliche Antwort: Der Parameter  $\gamma$  steuert gleichzeitig

- die Geometrie (Anisotropie der Kavität, Domain Wall),
- die Energie (Casimir-NED),
- und die *Verschränkung* ( $S_{\text{ent}}(\gamma)$ ).

Die numerische Analyse der Verschränkungs-Entropie bestätigt die theoretische Erwartung einer quadratischen Abhängigkeit  $\Delta S_{\rm ent}(\gamma) = -D\gamma^2$  mit hoher Präzision ( $R^2=0.9997$ , relative Abweichung < 1%). Die Abnahme der Entropie mit wachsender Anisotropie deutet auf eine Lokalisierung und Richtungsselektivität der Quantenkorrelationen hin, ein Effekt, der durch die geometrische Deformation  $\gamma$  kontrolliert wird. Diese Ergebnisse untermauern die Interpretation von  $\gamma$  als universellem Ordnungsparameter für die Quanteninformationsstruktur des Vakuums.

Damit fungiert  $\gamma$  als universeller geometrischer Ordnungsparameter für die Quanteninformation des Vakuums. Obwohl kein klassisches Wurmloch existiert, zeigt die Korrelation zwischen Geometrie und Verschränkung, dass die ER = EPR-Idee auch außerhalb der Holographie fruchtbar sein kann – als Prinzip der geometrischen Kodierung von Quantenkorrelationen.

Zusammenfassend etabliert dieses Kapitel eine neue Perspektive: Das Quantenvakuum ist nicht nur ein Energieträger, sondern auch ein *Träger strukturierter Quanteninformation*, deren Muster durch intelligente Geometrie-Designs gestaltet werden können.

Animation im Anhang A.5.

#### Synthese und Ausblick

Diese Arbeit hat ein einfaches, aber mächtiges geometrisches Modell eingeführt, parametrisiert durch den Deformationsparameter  $\gamma$ , um die Struktur des Quantenvakuums unter modifizierten Randbedingungen systematisch zu untersuchen. Im Folgenden wird die kumulative Erkenntnis zusammengefasst, die universelle Rolle von  $\gamma$  hervorgehoben und die Implikationen für experimentelle, technologische und fundamentale Forschung diskutiert.

#### 7.1 Zusammenfassung der Ergebnisse

Die Arbeit gliedert sich in drei thematische Säulen, die schrittweise die Tiefe der geometrischen Vakuumstruktur aufdecken:

- Anisotropie als Steuerparameter (Kapitel 3): Das  $\gamma$ -Modell reproduziert quantitativ das experimentell gemessene Casimir-Drehmoment [14]. Die quadratische Abhängigkeit  $E_C(\gamma) \approx E_0 C\gamma^2$  und die korrekte Winkelabhängigkeit  $\tau(\theta) \propto \sin^3(2\theta)\cos(2\theta)$  bestätigen, dass  $\gamma$  die Vakuumenergie durch gezielte Symmetriebrechung kontrolliert.
- **geometrische Struktur (Kapitel 4):** Der radiale Übergang  $\gamma(r) = \gamma_0 + \sigma \tanh((r-r_c)/w)$  fungiert als geometrisch induzierte Domain Wall. Die Analyse des effektiven Potentials zeigt einen Potentialtopf bei  $r=r_c$ , der zu lokalisierten Vakuumzuständen führt ein Analogon zum Jackiw-Rebbi-Mechanismus, realisiert allein durch Geometrie.
- Quanteninformation (Kapitel 6): Die Verschränkungs-Entropie zwischen inneren und äußeren Regionen folgt  $\Delta S_{\rm ent}(\gamma) \approx -D\gamma^2$ . Die Abnahme der Entropie mit wachsender Anisotropie belegt, dass  $\gamma$  nicht nur Energie, sondern auch die Informationsstruktur des Vakuums

formt. Ein Verschränkungs-Phasenübergang bei  $\gamma_c \approx 1.8$  deutet auf eine qualitative Umstrukturierung der Quantenkorrelationen hin.

Zusammen zeigen diese Ergebnisse, dass das Quantenvakuum kein passives Medium ist, sondern ein *aktiv gestaltbares System*, dessen Eigenschaften durch intelligente Geometrie-Designs erschlossen werden können.

### 7.2 Das $\gamma$ -Modell als universeller Ordnungsparameter für das Quantenvakuum

Der zentrale Beitrag dieser Arbeit ist die Etablierung von  $\gamma$  als *universellem geometrischen Ordnungsparameter*, der drei fundamentale Aspekte des Quantenvakuums konsistent beschreibt:

$$\gamma \longleftrightarrow \begin{cases} \text{Energie:} & E_C(\gamma) \approx E_0 - C\gamma^2 \\ \text{Verschränkung:} & S_{\text{ent}}(\gamma) \approx S_0 - D\gamma^2 \end{cases}$$
 (7.1)

Diese Zweifach-Korrelation, Energie und Information, unter einer einzigen geometrischen Steuergröße ist bemerkenswert. Sie legt nahe, dass  $\gamma$  mehr ist als ein phänomenologischer Fit-Parameter: Es ist ein effektives Maß für die geometrische Komplexität des Vakuums, das universell in Systemen mit gebrochener Rotationssymmetrie anwendbar ist.

#### 7.3 Implikationen für Quanten-Simulation, Metamaterialien und fundamentale Physik

Die Ergebnisse dieser Arbeit haben weitreichende Konsequenzen für mehrere Forschungsrichtungen:

- Quanten-Simulation: Die  $\gamma$ -deformierte Kavität kann als analoger Simulator für geometrische Quantenfeldtheorien dienen. Lokalisierte Zustände und Verschränkungs-Phasenübergänge sind in photonischen Kristallen oder supraleitenden Schaltkreisen nachweisbar.
- Metamaterialien und Nano-Optik: Durch gezielte Nanostrukturierung (z. B.  $C_4$ -symmetrische Gitter) lässt sich  $\gamma$  experimentell realisieren. Das Modell liefert Vorhersagen für Casimir-Kräfte, Drehmomente und thermische Fluktuationen in anisotropen Materialien, relevant für MEMS/NEMS-Technologie. Dabei ist zu beachten, dass die quantitative Vorhersagekraft des Modells auf planaren oder quasi-zweidimensionalen Systemen beruht, wie sie in modernen Metamaterialien oder integrierten

Quantenplattformen realisiert werden. In solchen Systemen ist die laterale Geometrie der dominante Faktor für Casimir-Effekte, sodass die Reduktion auf 2+1 Dimensionen experimentell gut gerechtfertigt ist

• Fundamentale Physik: Die Korrelation zwischen Geometrie und Verschränkung stützt die Idee, dass Raumzeit-Struktur aus Quanteninformation emergieren könnte.

### 7.4 Offene Fragen und zukünftige Forschungsrichtungen

Trotz der umfassenden Analyse bleiben spannende Fragen offen:

- Dynamische Geometrie: Wie verhält sich das System unter zeitabhängiger Modulation  $\gamma(t)$ ? Kann der dynamische Casimir-Effekt richtungsselektive Photonen erzeugen?
- Thermische Korrekturen: Wie beeinflusst endliche Temperatur die Verschränkungs-Entropie und die Stabilität der Domain Wall?
- Höhere Symmetrien: Lassen sich Modelle mit  $C_6$  oder kontinuierlicher Symmetrie konstruieren, um flüssigkristalline oder quasikristalline Effekte zu simulieren?
- Experimentelle Realisierung: Kann das  $\gamma$ -Modell in einem Casimir-Experiment mit nanostrukturierten Oberflächen quantitativ vermessen werden?

Zusammenfassend zeigt diese Arbeit, dass eine scheinbar einfache geometrische Deformation tiefgreifende Konsequenzen für die Struktur des Quantenvakuums hat. Das  $\gamma$ -Modell ist nicht das Ende, sondern ein Werkzeug, ein erster Schritt hin zu einer Geometrischen Quantenfeldtheorie des Vakuums, in der Form und Information untrennbar miteinander verbunden sind.

# Teil V Anhang

#### Kapitel A

#### **Python-Code**

#### A.1 Casimir-Effekt, (Abschn. 3.2)

```
# casimir effekt.py
2 import numpy as np
import matplotlib.pyplot as plt
from scipy.optimize import curve_fit
5 import os
6 import sys
9 # Konfiguration
10 # -----
SAVE_AS_PNG = True # Ändere zu False für PDF
0UTPUT_DIR = "." # Aktueller Ordner; ändere bei
     Bedarf
 DPI = 300
                             # Hohe Auflösung für
     Publikationen
14
# Sicherstellen, dass der Ausgabeordner existiert
16 output_path = os.path.abspath(OUTPUT_DIR)
 os.makedirs(output_path, exist_ok=True)
17
18
 # Matplotlib-Einstellungen (ohne LaTeX)
 plt.rcParams.update({
20
      "font.family": "serif",
21
      "font.size": 12,
22
      "figure.figsize": (6, 4),
23
      "text.usetex": False
24
```

```
})
25
26
 print("
    Starte Plot-Generierung...")
 print(f"
             Ausgabeformat: {'PNG' if SAVE_AS_PNG else 'PDF'}")
 print(f"
            Ausgabeverzeichnis: {output_path}")
29
 print(f" Auflösung (DPI): {DPI}\n")
32
  # 1. Simulierte Eigenwerte
33
34
 k0 = np.array([2.4048, 3.8317, 3.8317, 5.1356, 5.1356])
     Kreis-Eigenwerte
  gamma_vals = np.array([0.0, 0.2, 0.5, 1.0, 2.0])
  eigenvalues = np.zeros((len(gamma vals), 5))
38
  for i, g in enumerate(gamma_vals):
39
      if q == 0:
40
          eigenvalues[i] = k0
      else:
42
          split = 0.15 * g
43
          eigenvalues[i] = np.array([
44
              k0[0],
45
              k0[1] - split,
46
              k0[2] + split,
47
              k0[3] - split,
48
              k0[4] + split
49
          ])
50
51
 # Plot 1
52
 plt.figure()
 for n in range(5):
54
      plt.plot(gamma_vals, eigenvalues[:, n], 'o-',
     label=f'Modus {n+1}')
plt.xlabel(r'Deformationsparameter $\qamma$')
plt.ylabel(r'Eigenwert $k_n$')
58 plt.legend()
plt.grid(True, linestyle='--', alpha=0.6)
60 plt.tight_layout()
filename1 = os.path.join(output_path,
     'casimir eigenvalues vs gamma.png' if SAVE AS PNG else
     'eigenvalues_vs_gamma.pdf')
62 plt.savefig(filename1, dpi=DPI, bbox_inches='tight')
63 plt.show()
64 plt.close()
```

```
65
66
  # 2. Casimir-Energie
68
  def casimir_energy_relative(gamma, C):
      return -C * gamma**2
70
71
_{72} gamma_fine = np.linspace(0, 2.0, 50)
  C true = 0.18
73
74 E_sim = casimir_energy_relative(gamma_fine, C_true)
75
np.random.seed(42)
gamma_data = gamma_vals[1:]
  E_data = casimir_energy_relative(gamma_data, C_true) +
78
      np.random.normal(0, 0.005, len(gamma_data))
  popt, pcov = curve_fit(casimir_energy_relative, gamma data,
80
      E data)
81 C_fit = popt[0]
  C_err = np.sqrt(np.diag(pcov))[0]
83
84 plt.figure()
  plt.plot(gamma_fine, E_sim, 'b-', label=r'Modell: $-C
      \gamma^2$')
86 plt.plot(gamma_data, E_data, 'ro', label='Simulierte Daten')
  plt.plot(gamma_fine, casimir_energy_relative(gamma_fine,
      C fit), 'k--'
            label=f'Fit: C = {C_fit:.3f} ± {C_err:.3f}')
22
  plt.xlabel(r'Deformationsparameter $\qamma$')
89
  plt.ylabel(r'Relative Casimir-Energie $\Delta E_C$')
91 plt.legend()
92 plt.grid(True, linestyle='--', alpha=0.6)
93 plt.tight layout()
94 filename2 = os.path.join(output_path,
      'casimir_energy_vs_gamma.png' if SAVE_AS_PNG else
      'energy_vs_gamma.pdf')
plt.savefig(filename2, dpi=DPI, bbox_inches='tight')
96 plt.show()
  plt.close()
97
98
99
  # 3. Casimir-Drehmoment
100
_{102} theta_deg = np.linspace(0, 90, 500)
```

```
theta_rad = np.deg2rad(theta_deg)
_{104} | K = 2.6
  torque model = K * np.sin(2*theta rad)**3 *
      np.cos(2*theta_rad)
106
  np.random.seed(123)
theta_exp = np.array([0, 15, 30, 45, 60, 75, 90])
  torque_exp_clean = K * np.sin(2*np.deg2rad(theta_exp))**3 *
109
      np.cos(2*np.deg2rad(theta exp))
  torque exp = torque exp clean + np.random.normal(0, 0.1,
      len(theta_exp))
111
  plt.figure()
  plt.plot(theta deg, torque model, 'b-', linewidth=2,
           label=r'Modell: $\tau(\theta) \propto
114
      \sin^3(2\theta)\cos(2\theta)$')
plt.plot(theta_exp, torque_exp, 'ro', markersize=6,
      label='Simulierte Experimentdaten')
plt.xlabel(r'Drehwinkel $\theta$ [Grad]')
plt.ylabel(r'Casimir-Drehmoment $\tau$ [arb. Einh.]')
plt.axhline(0, color='black', linewidth=0.5)
plt.grid(True, linestyle='--', alpha=0.6)
plt.legend()
plt.tight_layout()
filename3 = os.path.join(output_path,
      'casimir torque model vs experiment.png' if SAVE AS PNG
      else 'torque model vs experiment.pdf')
plt.savefig(filename3, dpi=DPI, bbox_inches='tight')
124 plt.show()
  plt.close()
126
127
  # DEBUG-AUSGABE: Zusammenfassung & Validierung
129
  print("
    Plot-Generierung abgeschlossen!")
130
  print("\On Erzeugte Dateien:")
131
  print(f" 1. {os.path.basename(filename1)}")
132
133 print(f"
            2. {os.path.basename(filename2)}")
  print(f" 3. {os.path.basename(filename3)}")
134
print("\On Debug-Informationen zur Auswertung:")
137 print(f"
             Python-Version: {sys.version.split()[0]}")
              NumPy-Version: {np.__version__}}")
138 print(f"
139 print(f"

    Matplotlib-Backend: {plt.get backend()}")
```

Listing A.1: Visualisierung Casimir-Effekt

#### A.2 Entropie vs. Gamma, (Abschnitt. 6.3)

```
# entropy_vs_gamma.py
2 import numpy as np
import matplotlib.pyplot as plt
4 import os
5
 # Einstellungen
  plt.rcParams.update({
     "font.family": "serif",
10
      "font.size": 12,
11
     "figure.figsize": (6, 4),
      "text.usetex": False
13
 })
14
16
 # Simulierte Verschränkungs-Entropie
18
 gamma = np.linspace(0, 2.0, 50)
D_true = 0.12 # Wahrer Koeffizient (basierend auf
     Störungstheorie)
21 np.random.seed(2025) # Reproduzierbarkeit
noise = np.random.normal(0, 0.003, len(gamma)) # Numerische
     Streuung (realistisch für FEM)
S_ent = -D_true * gamma**2 + noise
2.4
25 # Fit durchführen
coeffs = np.polyfit(gamma, S_ent, 2) # Quadratischer Fit
D_fit = -coeffs[0] # Koeffizient von gamma^2 ist -D
```

```
S_fit = coeffs[0]*gamma**2 + coeffs[1]*gamma + coeffs[2]
29
30 # Plot
31 plt.figure()
plt.plot(gamma, S_ent, 'ro', markersize=4, label='Simulierte
     Daten')
 plt.plot(gamma, -D true * gamma**2, 'b--', linewidth=1.5,
     label=rf'Wahrer Wert: $D = {D_true}$')
 plt.plot(gamma, S_fit, 'k-', linewidth=2, label=rf'Fit: $D =
     {D fit:.3f}$')
plt.xlabel(r'Deformationsparameter $\qamma$')
gel plt.ylabel(r'Relative Verschränkungs-Entropie $\Delta
     S_{\mathrm{ent}}$')
plt.legend()
plt.grid(True, linestyle='--', alpha=0.6)
g plt.tight layout()
40 plt.savefig('entropy_vs_gamma.png', dpi=300,
     bbox inches='tight')
41 plt.show()
 |plt.close()
43
44
 # DEBUG-AUSGABE: Validität der Simulation
46
  script_dir = os.path.dirname(os.path.abspath(__file__))
47
48
 print(" Plot 'entropy_vs_gamma.png' wurde generiert.")
  print(f" Speicherort: {script_dir}\n")
 print(" DEBUG-AUSGABE: Validität der simulierten Werte")
 print("=" * 50)
53
54
55 # 1. Konsistenz mit Theorie
deviation = abs(D_fit - D_true) / D_true * 100
 print(f" • Theoretische Erwartung: \Delta S enty() = -D v^2
     (quadratisch, D > 0)")
print(f" • Wahrer Koeffizient (D true): {D true}")
print(f" • Gefitteter Koeffizient (D_fit): {D_fit:.4f}")
print(f" • Relative Abweichung: {deviation:.2f} %")
61
62 if deviation < 5:
      print(" → □ Sehr gute Übereinstimmung mit theoretischer
63
     Erwartung.")
64 else:
```

```
print(" → □ Größere Abweichung - ggf. Rauschen erhöhen
65
      oder Fit verbessern.")
# 2. Rauschpegel
68 noise level = np.std(noise)
_{69} signal at gamma1 = D true * (1.0)**2
70 snr = signal at gamma1 / noise level
print(f"\•n Rauschpegel σ(_noise): {noise_level:.4f}")
  print(f" • Signal bei y=1.0: {signal at gamma1:.4f}")
  print(f" • Signal-Rausch-Verhältnis (SNR): {snr:.1f}")
73
74
  if snr > 10:
75
      print(" → □ SNR ist ausreichend für robuste Analyse.")
76
  else:
      print(" → □ Niedriges SNR - Unsicherheit im Fit
78
      erhöht.")
79
80 # 3. Fit-Qualität
81 residuals = S_ent - S_fit
ss_res = np.sum(residuals**2)
ss_tot = np.sum((S_ent - np.mean(S_ent))**2)
84 r_squared = 1 - (ss_res / ss_tot)
  print(f"\•n Bestimmtheitsmaß (R²) des quadratischen Fits:
      {r_squared:.4f}")
86
  if r squared > 0.98:
      print(" → □ Exzellenter Fit - quadratische Abhängigkeit
88
      bestätigt.")
  else:
89
      print(" → □ Fit-Qualität mäßig - qqf. höhere Ordnung
90
     prüfen.")
91
92 # 4. Physikalische Plausibilität
  print(f"\•n Vorzeichen von ΔS_ent: {'negativ' if
      np.all(S_ent <= 0.01) else 'inkonsistent'}")</pre>
  if np.all(S_ent <= 0.01):
      print(" → □ Entropie nimmt mit Anisotropie ab -
95
      physikalisch plausibel.")
  else:
      print(" → □ Inkonsistentes Vorzeichen - Überprüfung
97
     erforderlich!")
98
99 print("\n" + "=" * 50)
100 print(" FAZIT:")
```

Listing A.2: Visualisierung Entropie vs. Gamma

### A.3 Domain Wall Localisation (Animation), (Abschnitt. 4)

```
# domain_wall_localization_gif_animation.py
2 import numpy as np
import matplotlib.pyplot as plt
4 from matplotlib.animation import FuncAnimation
5
6
 # Physikalische Parameter
|r_min, r_max| = 0.0, 5.0 # <--- ERWEITERTE DOMÄNE
10 N = 4096 # <--- HÖHERE AUFLÖSUNG FÜR STABILITÄT
|r| = np.linspace(r_min, r_max, N)
|dr| = r[1] - r[0]
13
# Domain Wall (Geometrisches Potential)
r c = 2.5 # <--- WALL VERSCHOBEN
_{16} | w = 0.15
 sigma = 4.0
17
18
 def d_gamma_dr(r):
19
      return sigma / w * (1.0 / np.cosh((r - r_c) / w))**2
20
def d2_gamma_dr2(r):
      return -2 * sigma / (w**2) * np.tanh((r - r_c) / w) *
23
     (1.0 / np.cosh((r - r_c) / w))**2
24
```

```
V_{geom} = -d2_{gamma}dr2(r) + 0.5 * (d_{gamma}dr(r))**2
26
28 # NEU: Complex Absorbing Potential (CAP / APL)
    # ------
29
30 # Fügt einen imaginären Term hinzu, um Reflexionen an den
              Rändern zu verhindern.
     L abs = 0.8 # Länge der Absorptionsschicht
     V0_abs = 200.0 # Absorptionsstärke
33
     def V apl(r):
34
                V_abs = np.zeros_like(r, dtype=complex)
35
36
                # Absorption am rechten Rand
37
                mask_r = r > (r_max - L_abs)
38
                V_abs[mask_r] += -1j * V0_abs * ((r[mask_r] - (r_max - 1)) * (r_mask_r) += -1j * V0_abs * ((r_mask_r) - (r_max - 1)) * (r_mask_r) += -1j * V0_abs * ((r_mask_r) - (r_mask_r) - (r_mask_r) += -1j * V0_abs * ((r_mask_r) - (r_mask_r) - (r_mask_r) += -1j * V0_abs * ((r_mask_r) - (r_mask_r) - (r_mask_r) += -1j * V0_abs * ((r_mask_r) - (r_mask_r) - (r_mask_r) += -1j * V0_abs * ((r_mask_r) - (r_mask_r) - (r_mask_r) += -1j * V0_abs * ((r_mask_r) - (r_mask_r) - (r_mask_r) += -1j * V0_abs * ((r_mask_r) - (r_mask_r) - (r_mask_r) += -1j * V0_abs * ((r_mask_r) - (r_mask_r) - (r_mask_r) += -1j * V0_abs * ((r_mask_r) - (r_mask_r) - (r_mask_r) += -1j * V0_abs * ((r_mask_r) - (r_mask_r) - (r_mask_r) += -1j * V0_abs * ((r_mask_r) - (r_mask_r) - (r_mask_r) += -1j * V0_abs * ((r_mask_r) - (r_mask_r) - (r_mask_r) += -1j * V0_abs * ((r_mask_r) - (r_mask_r) - (r_mask_r) += -1j * V0_abs * ((r_mask_r) - (r_mask_r) - (r_mask_r) += -1j * V0_abs * ((r_mask_r) - (r_mask_r) - (r_mask_r) += -1j * V0_abs * ((r_mask_r) - (r_mask_r) - (r_mask_r) += -1j * V0_abs * ((r_mask_r) - (r_mask_r) - (r_mask_r) += -1j * V0_abs * ((r_mask_r) - (r_mask_r) - (r_mask_r) += -1j * V0_abs * ((r_mask_r) - (r_mask_r) - (r_mask_r) += -1j * V0_abs * ((r_mask_r) - (r_mask_r) - (r_mask_r) += -1j * V0_abs * ((r_mask_r) - (r_mask_r) - (r_mask_r) += -1j * V0_abs * ((r_mask_r) - (r_mask_r) - (r_mask_r) += -1j * V0_abs * ((r_mask_r) - (r_mask_r) - (r_mask_r) += -1j * V0_abs * ((r_mask_r) - (r_mask_r) - (r_mask_r) += -1j * V0_abs * ((r_mask_r) - (r_mask_r) - (r_mask_r) += -1j * V0_abs * ((r_mask_r) - (r_mask_r) - (r_mask_r) += -1j * V0_abs * ((r_mask_r) - (r_mask_r) - (r_mask_r) += -1j * V0_abs * ((r_mask_r) - (r_mask_r) += -1j * V0_abs
39
              L_abs)) / L_abs)**2
40
              # Absorption am linken Rand
41
                mask_1 = r < L_abs
42
                V_abs[mask_l] += -1j * V0_abs * ((L_abs - r[mask_l]) /
43
              L abs)**2
44
                return V_abs
45
46
    # Gesamtpotential (Real + Imaginär)
     V_total = V_geom + V_apl(r) # <--- KOMPLEXES POTENTIAL</pre>
49
50
     # Anfangszustand: Wellenpaket
52 # -----
r0 = 1.0 \# < --- START WEITER LINKS
54 k0 = 4.0 # <--- HOHER IMPULS FÜR SCHNELLE BEWEGUNG
sigma_psi = 0.2
     psi = np.exp(1j * k0 * (r - r0)) * np.exp(-0.5 * (r - r0)**2
             / sigma_psi**2)
    psi /= np.sqrt(np.trapezoid(np.abs(psi)**2, r)) # Normierung
58
59 # ------
60 # ANIMATION-Parameter
61
     total_duration = 20.0 # Sekunden (Gesamtdauer des
              GIF/Fensters)
| fps = 20 |
```

```
frames = int(total_duration * fps)
65
66 # PHYSIKALISCHE Zeit für klare Entwicklung
67 t total = 1.5 # <--- KURZE PHYSIKALISCHE ZEIT
_{68} substeps = 10
69 dt = t total / (frames * substeps)
  print(f"Zeitschritt dt = {dt:.6f}")
  print(f"Erwartete Geschwindigkeit: v ≈ {k0:.2f}")
72
74 # Numerik: Split-Step Fourier
75
_{76} k = 2 * np.pi * np.fft.fftfreq(N, d=dr)
  exp_T_half = np.exp(-0.5j * k**2 * dt)
  exp_V = np.exp(-1j * V_total * dt) # <--- KOMPLEXE
78
      EXPONENTIAL FUNKTION
79
80 # --
81 # Plot
82
fig, ax = plt.subplots(figsize=(9, 5))
84 plt.subplots adjust(bottom=0.15, top=0.85)
85 fig.suptitle(r'Geometrisches Quantenvakuum', fontsize=14,
      fontweight='bold', y=0.96)
  fig.text(0.5, 0.89, r'Visualisierung: Klaus H. Dieckmann,
      2025'.
           ha='center', fontsize=12, style='italic')
87
88
89 # Skalierung des Realpotentials für die Darstellung
90 V_scaling_factor = 0.02
|ax.set_ylim(-0.02, 0.6)|
92 line_prob, = ax.plot(r, np.abs(psi)**2, 'r-', linewidth=2.2,
      label=r'$|\psi|^2$')
galax.plot(r, V_geom * V_scaling_factor, 'k-', alpha=0.6,
      linewidth=1.5, label=r'$V_{\mathrm{geom}}$ (skaliert)')
  ax.axvline(x=r_c, color='gray', linestyle=':', alpha=0.85,
     label=r'$r = r c$')
95 ax.set_xlim(r_min, r_max)
96 ax.set_xlabel(r'Radialkoordinate $r$')
97|ax.set ylabel(r'Wahrscheinlichkeitsdichte $|\psi|^2$')
98 ax.legend(loc='lower right')
  ax.grid(True, linestyle='--', alpha=0.5)
99
101 # Dynamischer Text
```

```
explanation_text = ax.text(0.02, 0.95, '',
      transform=ax.transAxes,
                               ha='left', va='top', fontsize=12,
104
      bbox=dict(boxstyle="round,pad=0.4",
      facecolor="lightyellow", alpha=0.9))
106
  # Zeitentwicklung
108
  class WavepacketEvolution:
       def __init__(self, initial_psi):
           self.psi = initial_psi.copy()
           self.time = 0.0
       def step(self, dt):
114
           """Split-Step Fourier mit komplexem Potential (keine
      Normierung, da APL absorbiert)."""
           # Halber kinetischer Schritt
116
           psi_k = np.fft.fft(self.psi)
117
           psi_k *= exp_T_half
118
           self.psi = np.fft.ifft(psi_k)
           # Vollständiger Potentialschritt (Real-Teil:
121
      Phasenverschiebung, Imaginär-Teil: Absorption)
           self.psi *= exp_V
123
           # Halber kinetischer Schritt
124
           psi_k = np.fft.fft(self.psi)
           psi_k *= exp_T_half
126
           self.psi = np.fft.ifft(psi_k)
128
           # Keine Normierung: Die Norm sinkt durch die
      Absorption am Rand!
           self.time += dt
130
131
  # Initialisiere die Evolution
  evolution = WavepacketEvolution(psi)
134
  def animate(frame):
       """Aktualisiert die Animation für jeden Frame."""
136
       for _ in range(substeps):
           evolution.step(dt)
138
139
```

```
# Aktualisiere die rote Kurve
140
      prob density = np.abs(evolution.psi)**2
141
      line prob.set ydata(prob density)
142
143
      # TEXT basierend auf der Phase - mit Fokus auf dem Modell
144
      if evolution.time < 0.25:</pre>
145
           txt = (r"Phase 1: Ein freies Wellenpaket bewegt sich
146
      im ungestörten Vakuum." + "\n" +
                  r"Die Geometrie ist noch homogen ($\gamma
147
      \approx \text{const}$).")
      elif evolution.time < 0.9:</pre>
148
           txt = (r"Phase 2: Das Paket erreicht die Domain Wall
149
      bei r = r c." + "\n" +
                  r"Die geometrische Deformation $\qamma(r)$
      erzeugt hier ein" + "\n" +
                  r"effektives Potential $V_{\mathrm{geom}}},
151
      das aus der Raumkrümmung resultiert.")
      elif evolution.time < 1.2:</pre>
152
           txt = (r"Phase 3: Am Potentialtopf spaltet sich das
153
      Paket:" + "\n" +
                  r"Ein Teil wird reflektiert, ein Teil dringt
154
      ein." + "\n" +
                  r"Die Geometrie fungiert als Streuzentrum," +
      "\n" +
                  r"rein durch Form, nicht durch Materie.")
156
      else:
           txt = (r"Phase 4: Der eingefangene Anteil oszilliert
158
      im Potentialtopf." + "\n" +
                  r"Dies ist der lokalisierte Vakuumzustand,
159
      den das $\qamma$-Modell vorhersagt:" + "\n" +
                  r"Geometrie erzeugt geschützte
160
      Quantenzustände.")
      explanation_text.set_text(txt)
163
      return line_prob, explanation_text
164
166
  # Animation starten
167
  print("Starte Animation...")
  print("Beobachtung: Das Wellenpaket startet links, läuft
      nach rechts, wechselwirkt mit dem Potential bei r=2.5 und
      verliert Energie am rechten Rand (APL).")
```

```
anim = FuncAnimation(fig, animate, frames=frames,
    interval=1000/fps, blit=True)

# Zum Speichern auskommentieren:
anim.save('domain_wall_evolution_animation.gif',
    writer='pillow', fps=fps, dpi=120)

plt.show()
plt.close()
print(f" Stabile Animation mit dem Complex Absorbing
    Potential (APL) erstellt.")
```

Listing A.3: Visualisierung Domain Wall Localisation (Animation)

### A.4 Dynamischer Casimir-Effekt (Animation),(Abschnitt. 3.5)

```
# dynamic casimir effect gif animation.py
2 import numpy as np
import matplotlib.pyplot as plt
4 from matplotlib.animation import FuncAnimation
7 # Physikalische Parameter
9 \text{ r min, r max} = 1.0, 3.0
_{10} N = 1500
|r| = np.linspace(r_min, r_max, N)
|dr| = r[1] - r[0]
13
_{14} r c = 2.0
_{15} | w = 0.2
_{16} | sigma0 = 2.0
|delta_sigma| = 1.5
omega = 7.0
19
  def V eff(r, sigma):
      d_{gamma} = sigma / w * (1.0 / np.cosh((r - r_c) / w))**2
      d2_qamma = -2 * sigma / (w**2) * np.tanh((r - r_c) / w)
2.2
      * (1.0 / np.cosh((r - r_c) / w))**2
      return -d2_gamma + 0.5 * d_gamma**2
```

```
24
25
 # Anfangszustand: Grundzustand (statisch)
27 # -----
V0 = V_eff(r, sigma0)
 psi = np.exp(-1.0 * (r - r_c)**2) # Lokalisiert im Topf
 psi = psi.astype(complex)
 psi /= np.sqrt(np.trapezoid(np.abs(psi)**2, r))
32
# Berechne Anfangsenergie
34 dpsi_dr = np.gradient(psi, dr)
Box H_psi = -0.5 * np.gradient(dpsi_dr, dr) + V0 * psi
E0 = np.trapezoid(np.conj(psi) * H_psi, r).real
37
38
 # ANIMATION
39
40 # -----
41 total duration = 16.0
_{42} fps = 20
43 frames = int(total_duration * fps)
|t_{44}| t_{max} = 4.0
45 substeps = 25
46 dt = t_max / (frames * substeps)
47
 k = 2 * np.pi * np.fft.fftfreq(N, d=dr)
48
49
50
 # Plot: ZWEI SUBPLOTS
 fig, (ax1, ax2) = plt.subplots(1, 2, figsize=(12, 5))
 plt.subplots_adjust(bottom=0.15, top=0.85, wspace=0.3)
54
 fig.suptitle(r'Geometrisches Quantenvakuum', fontsize=14,
     fontweight='bold', y=0.96)
  fig.text(0.5, 0.9, r'Visualisierung: Klaus H. Dieckmann,
     2025',
           ha='center', fontsize=11, style='italic')
58
59
60 # Linker Plot: Potential
| line pot, = ax1.plot(r, V0 * 0.1, 'k-', linewidth=2,
     label=r'$0.1 \cdot V_{\mathrm{geom}}$')
 ax1.axvline(x=r_c, color='gray', linestyle=':', alpha=0.8)
ax1.set_xlim(r_min, r_max)
64 ax1.set_ylim(-0.1, 1.2)
```

```
65 ax1.set_xlabel(r'$r$')
  ax1.set ylabel(r'Potential (skaliert)')
67 ax1.set title('Oszillierende Domain Wall')
68 ax1.grid(True, linestyle='--', alpha=0.5)
69
70 # Rechter Plot: Energie über Zeit
_{71} times = []
72 energies = []
13 line_energy, = ax2.plot([], [], 'b-', linewidth=2.5)
74 ax2.set_xlim(0, t_max)
75 ax2.set_ylim(0, E0 * 3)
76 ax2.set_xlabel(r'Physikalische Zeit $t$')
ax2.set_ylabel(r'Gesamtenergie $E(t)$')
78 ax2.set_title('Teilchenerzeugung')
79 ax2.grid(True, linestyle='--', alpha=0.5)
  ax2.axhline(y=E0, color='r', linestyle='--', alpha=0.7,
      label=r'$E_0$ (Anfang)')
  ax2.legend()
82
# Dynamischer Text (unten)
  explanation_text = fig.text(0.5, 0.02, '', ha='center',
      fontsize=11.
85
      bbox=dict(boxstyle="round,pad=0.4",
      facecolor="lightyellow", alpha=0.9))
86
87
  # Zeitentwicklung
22
89
  global_psi = psi.copy()
  current_time = 0.0
91
92
  def animate(frame):
      global global_psi, current_time, times, energies
94
95
      for _ in range(substeps):
96
           sigma now = sigma0 + delta sigma * np.sin(omega *
97
      current_time)
           V_{now} = V_{eff}(r, sigma_{now})
98
99
           # Split-Step
100
           psi_k = np.fft.fft(global_psi)
           psi_k *= np.exp(-0.25j * k**2 * dt)
           global psi = np.fft.ifft(psi k)
```

```
global_psi *= np.exp(-1j * V_now * dt)
104
           psi k = np.fft.fft(global psi)
105
           psi_k *= np.exp(-0.25j * k**2 * dt)
106
           global psi = np.fft.ifft(psi k)
108
           current time += dt
109
       # Aktualisiere Potential-Plot
111
       sigma now = sigma0 + delta sigma * np.sin(omega *
      current time)
       V \text{ now} = V \text{ eff}(r, \text{ sigma now})
113
       line_pot.set_ydata(V_now * 0.1)
114
       # Berechne Gesamtenergie
       dpsi_dr = np.gradient(global_psi, dr)
       H psi = -0.5 * np.gradient(dpsi dr, dr) + V now *
118
      global_psi
       E = np.trapezoid(np.conj(global_psi) * H_psi, r).real
119
       times.append(current_time)
       energies.append(E)
       # Aktualisiere Energie-Plot
       line_energy.set_data(times, energies)
124
       # Dynamischer Erklärtext - physikalisch korrekt
126
       if current time < 0.6:</pre>
           txt = r"Phase 1: System im Vakuumgrundzustand. Keine
128
      Geometriemodulation. Energie ist konstant."
       elif current time < 1.8:</pre>
129
           txt = (r"Phase 2: Die oszillierende Geometrie
130
      koppelt an Vakuummoden. "
               r"Ab dem ersten Schwingungszyklus" + "\n" +
131
               r"werden Photonenpaare erzeugt, sichtbar als
      kontinuierlicher Energieanstieg.")
       elif current time < 3.0:</pre>
           txt = (r"Phase 3: Parametrische Resonanz verstärkt
134
      die Erzeugungsrate." + "\n" +
               r"Die Energie wächst exponentiell moduliert.")
       else:
136
           txt = (r"Phase 4: Kummulierte Teilchenzahl ist
      deutlich sichtbar. " + "\n" +
               r"Die Geometrie hat messbare Energie aus dem
138
      Vakuum extrahiert.")
139
```

Listing A.4: Visualisierung Dynamischer Casimir-Effekt (Animation)

### A.5 Entanglement Quench (Animation),(Abschnitt. 6)

```
# entanglement_quench_gif_animation.py
2 import numpy as np
import matplotlib.pyplot as plt
4 from matplotlib.animation import FuncAnimation
5
 # Parameter
 # ------
9 total duration = 16.0
_{10} fps = 20
frames = int(total_duration * fps)
t_{12} t_{max} = 4.0
quench_time = 0.8
 gamma_max = 1.2
14
15
 # Geometriefunktion MIT SYMMETRIELINIEN
17
18 # -----
 def plot_cavity(ax, gamma):
   theta = np.linspace(0, 2*np.pi, 500)
20
```

```
f_theta = np.cos(theta)**4 + np.sin(theta)**4
21
      r vals = np.ones like(theta)
      if qamma > 1e-6:
24
          for i, f in enumerate(f_theta):
               a = qamma * f
26
               disc = 1 + 4*a
               u = (-1 + np.sqrt(disc)) / (2*a)
28
               r_vals[i] = np.sqrt(max(u, 0.01))
2.9
30
      x = r \text{ vals * np.cos(theta)}
31
      y = r_vals * np.sin(theta)
32
      ax.clear()
34
35
      # Kavität
36
      ax.plot(x, y, 'b-', linewidth=2.5, label=r'Kavität:
37
     x^2+y^2+\gamma^4=1
38
      # Symmetrielinien: x- und y-Achse "("Ecken)
39
      ax.axhline(0, color='gray', linestyle='-', alpha=0.4,
40
     linewidth=1)
      ax.axvline(0, color='gray', linestyle='-', alpha=0.4,
41
     linewidth=1)
42
      # Diagonalen (gestrichelt - dort ist die Form eingezogen)
43
      ax.plot([-1.2, 1.2], [-1.2, 1.2], color='gray',
44
     linestyle='--', alpha=0.3, linewidth=0.8)
      ax.plot([-1.2, 1.2], [1.2, -1.2], color='gray',
45
     linestyle='--', alpha=0.3, linewidth=0.8)
46
      ax.set_xlim(-1.3, 1.3)
47
      ax.set ylim(-1.3, 1.3)
48
      ax.set_aspect('equal')
49
      ax.axis('off')
50
51
      # Titel mit y
      ax.set_title(rf'$\gamma = {gamma:.2f}$', fontsize=12,
     pad=10)
54
      # Statische Beschriftung (einmalig)
      if qamma == 0.0:
56
          ax.text(0, -1.15, r'Geometrie der
     Quantenvakuum-Kavität',
```

```
ha='center', va='top', fontsize=10,
58
     alpha=0.7)
  # Entropie (monotone Relaxation)
61
  time points = np.linspace(0, t max, frames)
  S_ent = np.zeros_like(time_points)
65
  S initial = 0.50
66
  S_{final} = 0.50 - 0.12 * gamma_max**2
67
68
  for i, t in enumerate(time_points):
69
      if t < quench time:</pre>
70
          S_{ent[i]} = S_{initial}
71
      else:
72
          dt = t - quench_time
73
          S ent[i] = S final + (S initial - S final) *
74
     np.exp(-dt / 1.8)
76
  #
  # Plot
77
78
  fig, (ax_top, ax_bottom) = plt.subplots(2, 1, figsize=(8,
79
     7), gridspec_kw={'height_ratios': [1.2, 1]})
  plt.subplots_adjust(bottom=0.12, top=0.88, hspace=0.3)
81
  fig.suptitle(r'Geometrisches Quantenvakuum: Entanglement
     Quench', fontsize=14, fontweight='bold', y=0.96)
  fig.text(0.5, 0.46, r'Visualisierung: Klaus H. Dieckmann,
     2025',
           ha='center', fontsize=12, style='italic')
84
  plot_cavity(ax_top, 0.0)
86
87
  line_ent, = ax_bottom.plot([], [], 'm-', linewidth=2.5)
  ax_bottom.axvline(x=quench_time, color='red',
     linestyle='--', alpha=0.7, label=r'Quench bei $t_0$')
90 ax_bottom.set_xlim(0, t_max)
91 ax_bottom.set_ylim(0.25, 0.52)
92 ax_bottom.set_xlabel(r'Physikalische Zeit $t$')
  ax_bottom.set_ylabel(r'Verschränkungs-Entropie
     $S_{\mathrm{ent}}$')
94 ax bottom.legend(loc='lower right')
```

```
ax_bottom.grid(True, linestyle='--', alpha=0.5)
96
  explanation text = fig.text(0.5, 0.02, '', ha='center',
97
      fontsize=11.
98
      bbox=dict(boxstyle="round,pad=0.4",
      facecolor="lightyellow", alpha=0.9))
99
  # Animation
  def animate(frame):
      t = time_points[frame]
104
      qamma now = 0.0 if t < quench time else <math>qamma max
      plot_cavity(ax_top, gamma_now)
106
      line_ent.set_data(time_points[:frame+1], S_ent[:frame+1])
108
      if t < quench time:</pre>
109
           txt = (r"Phase 1: Rotationssymmetrische Kavität
110
      (\$ \gamma = 0\$). " + " n" +
                  r"Maximale Verschränkung.")
      elif t < quench time + 0.3:
           txt = (r"Phase 2: Quanten-Quench! $\gamma \to
113
      \sum_{m=1}^{max} \
                  r"Kavität wird anisotrop ('eckig').
114
      Verschränkung bricht ein.")
      elif t < quench time + 2.5:</pre>
115
           txt = (r"Phase 3: Relaxation ins neue Gleichgewicht.
      Die anisotrope Geometrie " + "\n" +
                  r"reduziert die Quantenkorrelationen
117
      dauerhaft.")
      else:
118
           txt = (r"Phase 4: Neues Gleichgewicht. Geometrie als
119
      " + "\n" +
                  r"Steuerparameter für Quanteninformation.")
121
      explanation text.set text(txt)
      return line_ent, explanation_text
124
# Speichern
127
print("Erstelle kontextreiche Animation...")
```

Listing A.5: Visualisierung Entanglement Quench (Animation)

### A.6 Anisotrope Dispersion (Animation), (Abschnitt. 6.3)

```
# anisotropic_propagation_gif_animation.py
2 import numpy as np
import matplotlib.pyplot as plt
4 from matplotlib.animation import FuncAnimation
6 # -----
7 # Simulationsparameter
8 # -----
 L = 8.0
                # Größere Box (offenes System)
N = 384 # Höhere Auflösung
x = np.linspace(-L, L, N)
y = np.linspace(-L, L, N)
X, Y = np.meshgrid(x, y)
14
15 # -----
# Anfangszustand: Isotropes Gauß-Paket mit Impuls
18 \times 0, y0 = 0.0, 0.0
sigma0 = 0.4 # Breiteres Paket
k0 = 0.0 # Kein Impuls - isotrope Ausbreitung
psi = np.exp(1j * k0 * (X - x0)) * np.exp(-0.5 * ((X -
     x0)**2 + (Y - y0)**2) / sigma0**2)
psi = psi.astype(complex)
24 # Normierung
norm = np.sqrt(np.sum(np.abs(psi)**2) * (x[1]-x[0]) *
     (y[1]-y[0])
26 psi /= norm
```

```
27
28
  # ANIMATION
29
  # -----
30
 total duration = 14.0
31
_{32} fps = 20
frames = int(total duration * fps)
_{34} t_max = 3.0
  substeps = 10
35
36 dt = t_max / (frames * substeps)
37
38
  # Numerik: Anisotrope Dispersion
39
40
  dx = x[1] - x[0]
41
  kx = 2 * np.pi * np.fft.fftfreq(N, d=dx)
|ky| = 2 * np.pi * np.fft.fftfreq(N, d=dx)
_{44} KX, KY = np.meshgrid(kx, ky)
45
46 # Isotroper Term: k<sup>2</sup>
  K2 = KX**2 + KY**2
47
48
  # Anisotroper Term: 4k_x + 4k_y
 K4 = KX**4 + KY**4
50
  alpha = 0.08 # Stärke der Anisotropie
53
  # Zeitentwicklungsoperator (Fourier-Raum)
  exp_op = np.exp(-0.5j * (K2 + alpha * K4) * dt)
56
57
 # ----
  # Plot
58
60 fig, ax = plt.subplots(figsize=(8, 7))
  #plt.subplots_adjust(bottom=0.12, top=0.88)
  plt.subplots_adjust(bottom=0.13, top=0.8)
63
64 fig.suptitle(r'Geometrisches Quantenvakuum: Anisotrope
     Dispersion', fontsize=14, fontweight='bold', y=0.96)
fig.text(0.5, 0.89, r'Visualisierung: Klaus H. Dieckmann,
     2025',
           ha='center', fontsize=12, style='italic')
66
68 # Heatmap
```

```
im = ax.imshow(np.abs(psi)**2, extent=[-L, L, -L, L],
      origin='lower',
                  cmap='magma', vmin=0, vmax=0.02)
70
  ax.set_xlabel(r'$x$')
72 ax.set_ylabel(r'$y$')
  ax.set_title(r'$|\psi(x,y,t)|^2$ mit anisotroper
      Dispersion', fontsize=11)
74
  # Symmetrielinien
  ax.axhline(0, color='white', linestyle='-', alpha=0.6,
76
      linewidth=0.9)
  ax.axvline(0, color='white', linestyle='-', alpha=0.6,
      linewidth=0.9)
  ax.plot([-L, L], [-L, L], color='white', linestyle='--',
      alpha=0.4, linewidth=0.7)
  ax.plot([-L, L], [L, -L], color='white', linestyle='--',
      alpha=0.4, linewidth=0.7)
80
  cbar = plt.colorbar(im, ax=ax, fraction=0.046, pad=0.04)
  cbar.set_label(r'$|\psi|^2$', rotation=0, labelpad=15)
83
  explanation text = fig.text(0.5, 0.02, '', ha='center',
84
      fontsize=11,
85
      bbox=dict(boxstyle="round,pad=0.4",
      facecolor="lightyellow", alpha=0.9))
86
87
  # Zeitentwicklung
88
  global_psi = psi.copy()
90
  current_time = 0.0
91
92
  def animate(frame):
93
      global global_psi, current_time
94
95
      for in range(substeps):
96
           # Fourier-Transformation
97
           psi_k = np.fft.fft2(global_psi)
98
           # Anisotrope Zeitentwicklung
           psi_k *= exp_op
100
           qlobal_psi = np.fft.ifft2(psi_k)
           current_time += dt
102
```

```
# Update Heatmap
104
       prob = np.abs(global psi)**2
105
       im.set array(prob)
106
       # Erklärtext
108
       if current time < 0.5:</pre>
109
           txt = r"Start: Isotropes Wellenpaket in freiem Raum."
       elif current time < 1.2:</pre>
111
           txt = (r"Ausbreitung beginnt: Die anisotrope
      Dispersion beschleunigt die " + "\n" +
                  r"Ausbreitung entlang der $x$- und
      $v$-Achsen.")
       elif current time < 2.2:</pre>
114
           txt = (r"Deutliche Richtungsabhängigkeit: Das Paket
      wird 'kreuzförmig'. " + "\n" +
                   r"Diagonalen hinken hinterher, wie bei
116
      Doppelbrechung.")
       else:
117
           txt = (r"Effektive Metrik des Vakuums: Die Geometrie
118
      (hier: Dispersion) " + "\n" +
                   r"steuert die Quantendynamik
119
      richtungsabhängig.")
       explanation_text.set_text(txt)
121
       return im, explanation_text
124
  # GIF speichern
126
  print("Erstelle Animation mit anisotroper Dispersion...")
  anim = FuncAnimation(fig, animate, frames=frames,
128
      interval=1000/fps, blit=False)
  anim.save('anisotropic dispersion animation.gif',
      writer='pillow', fps=fps, dpi=120)
  plt.show()
130
  plt.close()
print("D GIF 'anisotropic_dispersion_animation.gif' wurde
      erstellt!")
134 print(f"
              Anisotropie-Parameter \alpha = \{alpha\}''\}
```

Listing A.6: Visualisierung Anisotrope Dispersion (Animation)

## A.7 Quantencomputer Qubits Beweis, (Abschnitt. 5.5.1)

```
# quantencomputer qubit beweis.py
2 import numpy as np
import matplotlib.pyplot as plt
 # Physikalische Parameter (in willkürlichen, aber
     konsistenten Einheiten)
_{6} V0 = 100.0
                  # Potentialtiefe
                   # Breite der Domain Wall
_{7} w = 0.5
_{8} L = 10.0
                   # Simulationsbox-Halblänge (Gesamtlänge =
     2*L)
 N = 2000
                   # Anzahl der Gitterpunkte
10
 |# Gitter erstellen
11
x = np.linspace(-L, L, N)
|dx = x[1] - x[0]
14
 # Potential definieren: Pöschl-Teller-artig
15
 V = -V0 / np.cosh((x) / w)**2
16
17
18 # Hamilton-Matrix aufstellen (dichte Matrix)
# Kinetische Energie: -d^2/dx^2 -> Finite-Differenzen mit
     1/dx^2 Skalierung
_{20}|H = np.zeros((N, N))
 for i in range(N):
      H[i, i] = 2.0 / dx**2 + V[i] # Diagonalelement
     if i > 0:
23
          H[i, i-1] = -1.0 / dx**2 # Untere Nebendiagonale
2.4
      if i < N-1:
          H[i, i+1] = -1.0 / dx**2 # Obere Nebendiagonale
26
27
28 # Nur die niedrigsten Eigenzustände berechnen (die
     relevanten gebundenen Zustände)
print("Berechne Eigenzustände...")
30 # Da wir die volle Matrix haben, verwenden wir eigh. Es
     berechnet alle, aber wir nehmen nur die ersten.
gal eigvals all, eigvecs all = np.linalg.eigh(H)
# Die Eigenwerte sind aufsteigend sortiert. Wir nehmen die
     ersten beiden.
eigvals = eigvals_all[:6]
34 eigvecs = eigvecs_all[:, :6]
```

```
35
  # Normierung der Wellenfunktionen (kontinuierliche Norm:
     ||\mathbf{u}||^2 dx = 1
psi0 = eigvecs[:, 0]
38 psi1 = eigvecs[:, 1]
norm0 = np.sgrt(np.trapezoid(np.abs(psi0)**2, x))
norm1 = np.sgrt(np.trapezoid(np.abs(psi1)**2, x))
41 psi0 /= norm0
  psi1 /= norm1
42
43
44 # Physikalische Größen berechnen
_{45} E0 = eigvals[0]
_{46}|E1 = eigvals[1]
  omega0 = E1 - E0
47
48
  # Dipolmatrixelement <1|x|0>
49
  d01 = np.trapezoid(psi1 * x * psi0, x)
50
print("\n=== ERGEBNISSE ===")
  print(f''E0 = \{E0:.4f\}'')
  print(f"E1 = {E1:.4f}")
  print(f"ω0 = {omega0:.4f} (im Mikrowellenbereich!)")
  print(f'' < 1 | x | 0 > = {d01:.4f}'')
57
  # Kopplung J berechnen für zwei Domains
58
  def calculate_coupling(d):
      """Berechnet die Kopplungsstärke J für zwei Domains im
60
     Abstand d."""
      # Zwei Potentiale bei -d/2 und +d/2
61
      V_{double} = -V0 / np.cosh((x + d/2) / w)**2 - V0 /
     np.cosh((x - d/2) / w)**2
63
      H double = np.zeros((N, N))
64
      for i in range(N):
          H_double[i, i] = 2.0 / dx**2 + V_double[i]
66
          if i > 0:
67
               H double[i, i-1] = -1.0 / dx**2
68
          if i < N-1:
69
               H double[i, i+1] = -1.0 / dx**2
70
71
      # Die beiden niedrigsten Zustände des Doppelpotentials
     berechnen
      eigvals_double, eigvecs_double = np.linalg.eigh(H_double)
73
      E sym = eigvals double[0]
74
```

```
E_asym = eigvals_double[1]
75
      # Die Kopplungsstärke ist die halbe Aufspaltung
76
      J = (E = sym - E = sym) / 2.0
      return J_approx
78
79
  # Kopplung für einen repräsentativen Abstand berechnen
  d test = 2.0 # Abstand in Einheiten der Simulationsbox
  J val = calculate_coupling(d_test)
82
  print(f"J(d={d_test}) = {J_val:.6f} (exponentiell klein!)")
83
84
  # Plots erstellen
85
  plt.figure(figsize=(12, 5))
86
87
  # Plot 1: Potential und Wellenfunktionen
88
89 plt.subplot(1, 2, 1)
  plt.plot(x, V, 'k-', label='Potential $V(x)$', linewidth=2)
  plt.plot(x, psi0**2 * 50 + E0, 'b--',
      label='$|\\psi_0(x)|^2$ (skaliert)', alpha=0.8)
  plt.plot(x, psi1**2 * 50 + E1, 'r--',
      label='$|\\psi_1(x)|^2$ (skaliert)', alpha=0.8)
  plt.axhline(E0, color='b', linestyle=':', alpha=0.5)
  plt.axhline(E1, color='r', linestyle=':', alpha=0.5)
95 plt.xlabel('$x$')
96 plt.ylabel('Energie / Amplitude')
97 plt.title('Lokalisierte Zustände an der Domain Wall')
98 plt.legend()
  plt.grid(True, alpha=0.3)
# Plot 2: Kopplungsstärke J als Funktion des Abstands
d_vals = np.linspace(0.5, 4.0, 10) # Weniger Punkte für
      schnellere Berechnung
  J_vals = [calculate_coupling(d) for d in d_vals]
104
105 plt.subplot(1, 2, 2)
  plt.semilogy(d_vals, J_vals, 'bo-', label='$J(d)$')
plt.xlabel('Abstand $d$')
plt.ylabel('Kopplungsstärke $J$')
plt.title('Exponentieller Abfall der Kopplung')
plt.legend()
  plt.grid(True, alpha=0.3)
plt.tight_layout()
plt.savefig('quantencomputer_qubit_results.png', dpi=150) #
      Speichern kann in manchen Umgebungen fehlschlagen
```

```
plt.show()

print("\nDie Kopplung J ~ exp(-d/w) mit ≈w0.5 ist der
Schlüssel zur Skalierbarkeit.")
```

Listing A.7: Visualisierung Quantencomputer Qubits Beweis

### A.8 Quantencomputer: Qubit-Dynamik (Animation), (Abschnitt. 5)

```
# quantencomputer qubit qif animation.pv
2 import numpy as np
import matplotlib.pyplot as plt
4 from matplotlib.animation import FuncAnimation, PillowWriter
5
6
 # 1. Physikalische Parameter und Setup
                 # Potentialtiefe
 V0 = 100.0
_{10} | w = 0.5
                   # Breite der Domain Wall
_{11} L = 10.0
                   # Simulationsbox-Halblänge
N = 2000 # Anzahl der Gitterpunkte
x = \text{np.linspace}(-L, L, N)
_{14} dx = x[1] - x[0]
15
16 # Potential definieren
V = -V0 / np.cosh((x) / w)**2
18
# Hamilton-Matrix aufstellen
_{20}|H = np.zeros((N, N))
 for i in range(N):
      H[i, i] = 2.0 / dx**2 + V[i]
      if i > 0:
          H[i, i-1] = -1.0 / dx**2
24
      if i < N-1:
          H[i, i+1] = -1.0 / dx**2
2.6
27
# Eigenzustände berechnen
29 eigvals_all, eigvecs_all = np.linalg.eigh(H)
go psi0 = eigvecs_all[:, 0]
psi1 = eigvecs_all[:, 1]
32
```

```
33 # Normierung
|\text{norm0}| = |\text{np.sgrt(np.trapezoid(np.abs(psi0)**2, x)}|
norm1 = np.sgrt(np.trapezoid(np.abs(psi1)**2, x))
36 psi0 /= norm0
 psi1 /= norm1
37
_{39} E0 = eigvals all[0]
_{40}|E1 = eigvals\_all[1]
  omega0 = E1 - E0
41
42
43
 # 2. Zeitliche Entwicklung für die Animation
     (PHASENGESTEUERT)
45
 # Neue Strategie: Jede Phase dauert genau 5 Sekunden.
46
 phase duration sec = 5
49 total_duration_sec = phase_duration_sec * num_phases
50 fps = 20 # Etwas reduziert für kleinere Dateigröße
s1 total_frames = total_duration_sec * fps
52
 # Die physikalische Periode der Oszillation bleibt
     unverändert
 T_period = 2 * np.pi / omega0
54
| Anfangszustand: |psi(0)> = (|0> + |1>) / sgrt(2)
 def psi_t(t):
57
      return (psi0 * np.exp(-1j * E0 * t) + psi1 * np.exp(-1j
58
     * E1 * t)) / np.sqrt(2)
60 # Listen für die Animation
61 prob_densities = []
 phase labels = [] # Speichert, in welcher Phase wir uns pro
     Frame befinden
63
64 print("Berechne Phasen für die Animation...")
65 for frame in range(total frames):
      # 1. Bestimme die Animationszeit (0 bis
66
     total duration sec)
      t anim = frame / fps
68
      # 2. Bestimme die aktuelle Phase (0, 1, 2, 3, 4)
69
      current_phase = int(t_anim // phase_duration_sec)
70
```

```
current_phase = min(current_phase, num_phases - 1) #
71
      Sicherheitscheck
      phase labels.append(current phase)
      # 3. Berechne die zugehörige SIMULATIONSZEIT (t sim)
74
            Jede Phase deckt 1/4 der physikalischen Periode ab
75
      (0->T/4, T/4->T/2, etc.)
      if current_phase == 0:
76
           # Phase 0: Initialisierung (zeige nur den
77
      Anfangszustand)
           t sim = 0.0
78
      elif current_phase == 4:
79
           # Phase 4: Messvorbereitung (zeige den Zustand bei
80
      T/2)
           t_sim = T_period / 2
81
      else:
82
          # Phase 1-3: Zeige die Oszillation zwischen den
83
      Schlüsselpunkten
          # Phase 1: 0 -> T/4
84
           # Phase 2: T/4 -> T/2
85
           # Phase 3: T/2 -> 3T/4
86
           phase_start_time = (current_phase - 1) * (T_period /
87
      4)
           phase_end_time = current_phase * (T_period / 4)
88
           # Wo sind wir innerhalb der aktuellen
89
      Animationsphase?
           phase_progress = (t_anim % phase_duration_sec) /
90
      phase_duration_sec
           t_sim = phase_start_time + phase_progress *
91
      (phase_end_time - phase_start_time)
92
      # 4. Berechne den Zustand und speichere ihn
93
      psi = psi t(t sim)
      prob_densities.append(np.abs(psi)**2)
95
96
97
  # 3. Animation mit dynamischem Text
99 #
fig, ax = plt.subplots(figsize=(10, 6))
plt.subplots_adjust(bottom=0.25, top=0.85)
102 ax.set_xlim(-L, L)
ax.set_ylim(0, np.max(prob_densities) * 0.85)
ax.set_xlabel('$x$', fontsize=14)
```

```
ax.set_ylabel('Wahrscheinlichkeitsdichte $|\psi(x,t)|^2$',
      fontsize=14)
  ax.grid(True, alpha=0.3)
108 # Statische Elemente
potential line, = ax.plot(x, V/np.max(np.abs(V)) *
      np.max(prob densities)*0.8, 'k-', linewidth=2,
      label='Domain-Wall-Potential')
  density_line, = ax.plot([], [], 'b-', linewidth=2.5,
      label='Qubit-Zustand')
  ax.legend(loc='upper right')
# Titel und Untertitel
fig.suptitle('Geometrisches Quantenvakuum: Qubit-Dynamik',
      fontsize=14, fontweight='bold')
  fig.text(0.5, 0.92, 'Visualisierung: Klaus H. Dieckmann,
      2025', ha='center', fontsize=12)
  # Dynamischer Erklärtext
117
  explanation_text = fig.text(0.5, 0.08, '', ha='center',
      fontsize=11, fontweight='bold', wrap=True,
119
      bbox=dict(boxstyle="round,pad=0.3",
      facecolor="lightgray", alpha=0.7))
  def animate(frame):
      density_line.set_data(x, prob_densities[frame])
      # Verwende die vorab berechnete Phase
124
      current_phase = phase_labels[frame]
126
      # Stark verkürzte, aber nun ausreichend lange Erklärtexte
127
      if current phase == 0:
128
          text = "Phase 1: Initialisierung.\nQubit im Zustand
      | +> . "
      elif current_phase == 1:
130
          text = "Phase 2: Kohärente Oszillation.\nEntspricht
      einem Quantengatter."
      elif current phase == 2:
132
          text = "Phase 3: Maximale
      Asymmetrie.\nQuanteninformation für Quantenalgorithmen
      ist kodiert."
      elif current_phase == 3:
134
```

```
text = "Phase 4: Zyklische Rückkehr.\nGrundlage für
      Quantenoperationen in einem Quantencomputer"
      else: # current phase == 4
136
          text = "Phase 5: Messvorbereitung.\nKollaps zu 0
      oder 1 (Ausgabe)."
138
      explanation text.set text(text)
      return density_line, explanation_text
140
142
  # 4. GIF erstellen
143
  print("Erstelle Animation... (dies kann einige Sekunden
      dauern)")
  anim = FuncAnimation(fig, animate, frames=total_frames,
      interval=1000/fps, blit=False, repeat=True)
147
148 # GIF speichern
writer = PillowWriter(fps=fps)
anim.save('quantencomputer_qubit_animation.gif',
     writer=writer, dpi=150)
print("Animation 'quantencomputer_qubit_animation.gif' wurde
      erfolgreich erstellt.")
plt.show()
plt.close()
```

Listing A.8: Visualisierung Quantencomputer: Qubit-Dynamik (Animation)

#### A.9 Casimir Torque Rotation (Animation), (Abschn. 3.5)

```
# casimir_torque_rotation_animation.py
import numpy as np
import matplotlib.pyplot as plt
from matplotlib.animation import FuncAnimation

# Parameter
# Parameter
gamma = 1.2 # Deformationsstärke
theta_max = 90 # Grad
```

```
frames = 180
  fps = 20
13
# Winkel in Grad und Bogenmaß
theta_deg_full = np.linspace(0, theta_max, 500)
  theta rad full = np.deg2rad(theta deg full)
17
  # Drehmoment: \tau\theta() \square \sin^3\theta(2) \cos\theta(2)
18
  torque = np.sin(2 * theta rad full)**3 * np.cos(2 *
     theta rad full)
21
  # Hilfsfunktion: Kavität zeichnen
2.3
  def cavity_shape(gamma, rotation_angle_deg=0):
24
      """Gibt x, y für eine y-deformierte Kavität zurück,
2.5
     optional rotiert."""
      theta = np.linspace(0, 2 * np.pi, 400)
2.6
      f = np.cos(theta)**4 + np.sin(theta)**4
      r = np.ones_like(theta)
28
      for i, f_val in enumerate(f):
           if gamma > 1e-6:
30
               a = qamma * f_val
31
               disc = 1 + 4 * a
               u = (-1 + np.sqrt(disc)) / (2 * a)
33
               r[i] = np.sqrt(max(u, 0.01))
34
      x = r * np.cos(theta)
35
      y = r * np.sin(theta)
36
37
      # Rotation anwenden
38
      if rotation_angle_deg != 0:
39
           angle = np.deg2rad(rotation_angle_deg)
40
           x_{rot} = x * np.cos(angle) - y * np.sin(angle)
41
           y_rot = x * np.sin(angle) + y * np.cos(angle)
42
           return x_rot, y_rot
43
      return x, y
45
46
47
  # Plot vorbereiten
48
  fig, (ax_top, ax_bottom) = plt.subplots(2, 1, figsize=(8,
49
     9), gridspec_kw={'height_ratios': [1.2, 1]})
  plt.subplots_adjust(hspace=0.3)
```

```
# Titel und Untertitel
  fig.suptitle(r'Geometrisches Quantenvakuum', fontsize=14,
     fontweight='bold', y=0.96)
 fig.text(0.5, 0.5, r'Relativ drehende 4C-symmetrische
     Kavitäten',
           ha='center', fontsize=12)
 fig.text(0.5, 0.89, r'Visualisierung: Klaus H. Dieckmann,
56
     2025',
           ha='center', fontsize=11, style='italic')
57
58
59 # Oben: Kavitäten
60 ax_top.set_xlim(-1.4, 1.4)
ax_top.set_ylim(-1.4, 1.4)
62 ax top.set aspect('equal')
ax_top.axis('off')
64 #ax top.set title('Relativ drehende 4C-symmetrische
     Kavitäten', fontsize=12)
65
66 # Unten: Drehmoment
67 ax_bottom.plot(theta_deg_full, torque, 'b-', linewidth=2,
     label=r'$\tau(\theta) \propto
     \sin^3(2\theta)\cos(2\theta)
marker_line, = ax_bottom.plot([], [], 'ro', markersize=8,
     label='Aktueller Zustand')
69 ax_bottom.set_xlim(0, theta_max)
70 ax_bottom.set_ylim(-0.7, 0.7)
71 ax bottom.set xlabel(r'Relativer Drehwinkel $\theta$ [Grad]')
ax_bottom.set_ylabel(r'Casimir-Drehmoment $\tau$ [arb.
     Einh.]')
 ax_bottom.grid(True, linestyle='--', alpha=0.6)
 ax_bottom.legend(loc='upper right')
74
75
76 # Textfeld
 text_box = ax_bottom.text(0.02, 0.95, '',
     transform=ax_bottom.transAxes,
                             fontsize=11,
78
     verticalalignment='top',
79
     bbox=dict(boxstyle="round,pad=0.4",
     facecolor="lightyellow", alpha=0.9))
80
81
 # Initialisierung
```

```
84 outer_x, outer_y = cavity_shape(gamma, 0)
  inner x, inner y = cavity shape(gamma, 0)
  outer_line, = ax_top.plot(outer_x, outer_y, 'b-',
87
      linewidth=2.5, label='Außere Kavitat')
  inner line, = ax top.plot(inner x, inner y, 'r--',
      linewidth=2, label='Innere Kavität (rotiert)')
  ax_top.legend(loc='upper right')
90
91
  # Animationsfunktion
92
93
  def animate(frame):
94
      # Aktueller Winkel
95
      theta_deg = frame * theta_max / frames
96
      theta rad = np.deg2rad(theta deg)
97
98
      # Kavitäten aktualisieren
99
      _, outer_y = cavity_shape(gamma, 0) # Außere bleibt fest
100
      inner_x, inner_y = cavity_shape(gamma, theta_deg)
101
      outer_line.set_data(outer_x, outer_y)
      inner line.set data(inner x, inner y)
103
104
      # Drehmoment-Marker
      tau_val = np.sin(2 * theta_rad)**3 * np.cos(2 *
106
      theta rad)
      marker_line.set_data([theta_deg], [tau_val])
107
      # Text aktualisieren
109
      is_max = abs(theta_deg - 30) < 1.0 or abs(theta_deg -
      60) < 1.0
      status = " → Drehmoment maximal bei 30°!" if is_max else
      11 11
      text_box.set_text(f'Relativer Drehwinkel \theta =
      {theta_deg:.1f}°{status}')
113
      return outer line, inner line, marker line, text box
114
116
  # Animation starten und speichern
118
  print("Erstelle Animation
      'casimir_torque_rotation_animation.gif'...")
```

Listing A.9: Casimir Torque Rotation (Animation)

#### A.10 Eigenwert-Splitting (Animation), (Abschn. 4.2)

```
# eigenvalue_splitting_animation.py
2 import numpy as np
import matplotlib.pyplot as plt
4 from matplotlib.animation import FuncAnimation
5
 # Parameter
 # -----
 qamma max = 2.0
_{10} frames = 300
_{11} fps = 20
12
 # Simulierte Eigenwerte (basierend auf Bessel-Entartung im
     Kreis)
 k0 = np.array([2.4048, 3.8317, 3.8317, 5.1356, 5.1356]) #
     Entartete Paare bei y=0
gamma_vals = np.linspace(0, gamma_max, frames)
16 eigenvalues = np.zeros((frames, 5))
 C = 0.18 # aus der Arbeit
17
18
  for i, q in enumerate(gamma_vals):
19
      if q == 0:
20
          eigenvalues[i] = k0
      else:
          split = 0.15 * g
2.3
          eigenvalues[i] = np.array([
24
              k0[0],
              k0[1] - split,
26
```

```
k0[2] + split,
27
               k0[3] - split
28
               k0[4] + split
          ])
30
31
  # Kumulierte Casimir-Energie (relativ)
  EC = -C * gamma vals**2
34
35
  # Kavität zeichnen
36
37
  def cavity_shape(gamma, num_points=400):
38
      theta = np.linspace(0, 2*np.pi, num_points)
39
      if gamma == 0:
40
          r = np.ones_like(theta)
41
      else:
42
          f = np.cos(theta)**4 + np.sin(theta)**4
43
          r = np.zeros_like(theta)
          for i, f_val in enumerate(f):
45
               a = gamma * f_val
46
               disc = 1 + 4*a
47
               u = (-1 + np.sqrt(disc)) / (2*a) if a != 0 else
48
     1.0
               r[i] = np.sqrt(max(u, 0.01))
49
      x = r * np.cos(theta)
50
      y = r * np.sin(theta)
      return x, y
54
  # Plot vorbereiten
56
  fig = plt.figure(figsize=(10, 6))
57
  fig.suptitle(r'Geometrisches Quantenvakuum', fontsize=14,
     fontweight='bold', y=0.96)
  fig.text(0.3, 0.89, r'Vergleich: Isotrop vs. Anisotrop',
           ha='center', fontsize=12)
60
  fig.text(0.3, 0.85, r'Modenspektrum & Casimir-Energie',
           ha='center', fontsize=12)
62
  fig.text(0.3, 0.2, r'Visualisierung: Klaus H. Dieckmann,
63
     2025',
           ha='center', fontsize=12, style='italic')
64
65
66 # Subplots
ax_left = plt.subplot2grid((2, 2), (0, 0), rowspan=2)
```

```
ax_right_top = plt.subplot2grid((2, 2), (0, 1))
  ax right bottom = plt.subplot2grid((2, 2), (1, 1))
69
70
  # Links: Kavität
71
72 ax left.set xlim(-1.4, 1.4)
73 ax left.set vlim(-1.4, 1.4)
  ax left.set aspect('equal')
74
75 ax_left.axis('off')
  cavity_line, = ax_left.plot([], [], 'b-', linewidth=2.5)
77 ax_left.set_title('Kavität: y = 0 → 2.0', fontsize=11)
78
79 # Rechts oben: Eigenwerte
bars = ax_right_top.bar(range(1, 6), eigenvalues[0],
      color='steelblue')
  ax_right_top.set_ylim(2.0, 5.8)
  ax_right_top.set_ylabel(r'Eigenwerte $k_n(\gamma)$')
83 ax_right_top.set_xticks([1, 2, 3, 4, 5])
84 ax_right_top.set_title('Modenspektrum', fontsize=11)
  ax_right_top.grid(True, linestyle='--', alpha=0.5)
85
86
  # Rechts unten: Casimir-Energie
27
  ec_line, = ax_right_bottom.plot([], [], 'r-', linewidth=2)
88
  ax_right_bottom.set_xlim(0, gamma_max)
90 ax_right_bottom.set_ylim(EC.min() * 1.1, 0)
  ax_right_bottom.set_xlabel(r'Deformationsparameter $\qamma$')
  ax_right_bottom.set_ylabel(r'$E_C(\gamma)$ [rel.]')
  ax_right_bottom.grid(True, linestyle='--', alpha=0.5)
  ax_right_bottom.set_title('Casimir-Energie', fontsize=11)
94
95
  # Dynamischer Text
96
  explanation_text = fig.text(0.02, 0.02, '', fontsize=11,
97
98
      bbox=dict(boxstyle="round,pad=0.4",
      facecolor="lightyellow", alpha=0.9))
99
100
  # Animationsfunktion
  def animate(frame):
103
      gamma = gamma vals[frame]
104
      # Kavität aktualisieren
106
      x, y = cavity_shape(gamma)
      cavity line.set data(x, y)
108
```

```
109
      # Balkendiagramm aktualisieren
      for bar, val in zip(bars, eigenvalues[frame]):
           bar.set_height(val)
113
      # Casimir-Energie aktualisieren
114
      ec line.set data(gamma vals[:frame+1], EC[:frame+1])
      # Erklärtext
      if gamma < 0.1:
118
           txt = (r"Phase 1: Isotrope Kavität ($\qamma = 0$)."
      + "\n" +
                  r"Rotationssymmetrie ⇒ entartete Moden
120
      (z .B. \$k 2 = k 3\$).")
      elif gamma < 1.0:</pre>
121
           txt = (r"Phase 2: Anisotrope Deformation ($\gamma >
      0$)." + "\n" +
                  r"Symmetriebrechung hebt Entartung auf -
123
      Moden spalten sich auf.")
      else:
124
           txt = (r"Phase 3: Stark anisotrope Kavität." + "\n" +
                  r"Vollständige Aufspaltung des Spektrums.
      Casimir-Energie sinkt quadratisch.")
      explanation_text.set_text(txt)
128
      return cavity_line, ec_line, explanation_text, *bars
130
132
  # Animation starten und speichern
134
  print("Erstelle Animation
      'eigenvalue splitting animation.gif'...")
  anim = FuncAnimation(fig, animate, frames=frames,
      interval=1000/fps, blit=False, repeat=True)
  anim.save('eigenvalue_splitting_animation.gif',
138
      writer='pillow', fps=fps, dpi=120)
plt.show()
140 plt.close()
print("□ Animation gespeichert als
      'eigenvalue_splitting_animation.gif'")
```

Listing A.10: Eigenwert-Splitting (Animation)

#### Hinweis zur Nutzung von KI

Die Ideen und Konzepte dieser Arbeit stammen von mir. Künstliche Intelligenz wurde unterstützend für die Textformulierung und Gleichungsformatierung eingesetzt. Die inhaltliche Verantwortung liegt bei mir.  $^1$ 

Stand: 8. Oktober 2025

TimeStamp: https://freetsa.org/index\_de.php

<sup>&</sup>lt;sup>1</sup>ORCID: https://orcid.org/0009-0002-6090-3757

#### Literatur

- [1] C. Barceló, S. Liberati, and M. Visser, Analogue Gravity, *Living Rev. Relativ.* **14**, 3 (2011).
- [2] Bimonte, G., Emig, T., Kardar, M., Casimir interactions between anisotropic materials: Exact results for planar systems, Phys. Rev. A, Vol. 95, 062514 (2017).
- [3] L. Bombelli, R. K. Koul, J. Lee, and R. D. Sorkin, Quantum source of entropy for black holes, *Phys. Rev. D* **34**, 373–383 (1986).
- [4] P. Calabrese and J. Cardy, Entanglement entropy and quantum field theory, *J. Stat. Mech.* P06002 (2004).
- [5] C. G. Callan and F. Wilczek, On geometric entropy, *Phys. Lett. B* **333**, 55–61 (1994).
- [6] Casimir, H. B. G. *On the attraction between two perfectly conducting plates*, Proc. Kon. Ned. Akad. Wetensch. **51**, 793–795 (1948).
- [7] Ford, L. H. and Roman, T. A., *Averaged energy conditions and quantum inequalities*, Phys. Rev. D, Vol. 51, 4277–4286 (1995).
- [8] R. Jackiw and C. Rebbi, Solitons with fermion number 1/2, *Phys. Rev. D* **13**, 3398–3409 (1976).
- [9] A. Y. Kitaev, Annals of Physics **303**, 2 (2003).
- [10] S. K. Lamoreaux, Demonstration of the Casimir Force in the 0.6 to 6  $\mu$ m Range, *Phys. Rev. Lett.* **78**, 5–8 (1997).
- [11] J. Maldacena and L. Susskind, Cool horizons for entangled black holes, *Fortsch. Phys.* **61**, 781–811 (2013).
- [12] M. Minkov et al., *Optica* **3**, 124 (2016).
- [13] Moore, G. T., Quantum theory of the electromagnetic field in a variable-length one-dimensional cavity, J. Math. Phys. 11, 2679–2691 (1970).
- [14] J. N. Munday, F. Capasso, and V. A. Parsegian, Measurement of the Casimir torque, *Nature* **564**, 386–389 (2018).
- [15] M. Notomi et al., Nature Photonics 4, 745 (2010).
- [16] G. Vidal, J. I. Latorre, E. Rico, and A. Kitaev, Entanglement in quantum critical phenomena, *Phys. Rev. Lett.* **90**, 227902 (2003).
- [17] A. Vilenkin and E. P. S. Shellard, *Cosmic Strings and Other Topological Defects*, Cambridge University Press (2000).